

การสังเคราะห์ซีเมนต์สะอาดจากภัณฑ์อุตสาหกรรม
Synthesizing green cement from industrial waste materials for use as
cement replacement material in concrete industrial

นายนรินทร์ พึงสมบัติ รหัส 54361305
นายกันธ์ เอกนก กันอุปทิ รหัส 54364436

ที่ผ่านอนุญาตวิจัยกรรมศาสตร์
วันที่รับ..... ๓.๐.๑๔. ๒๕๕๘
เลขที่รับ..... ๑๖๙๑๐๔๘
เลขที่เข้าห้องเรียน..... ๒๕.
มหาวิทยาลัยนเรศวร ๔๗๓

ปริญญานิพนธ์นี้เป็นส่วนหนึ่งของการศึกษาหลักสูตรปริญญาวิศวกรรมศาสตรบัณฑิต
สาขาวิชาชีวกรรมโยธา ภาควิชาชีวกรรมโยธา
คณะวิศวกรรมศาสตร์ มหาวิทยาลัยนเรศวร
ปีการศึกษา ๒๕๕๗



ใบรับรองปริญญาบัตร

ชื่อหัวข้อโครงการ	การสังเคราะห์ซีเมนต์สะอดจากวัสดุกากอุตสาหกรรม	
ผู้ดำเนินโครงการ	นายศรินทร์ พึงสมบัติ	รหัส 54361305
	นายกันธ์เอนก กันอุปัท้ว	รหัส 54364436
ที่ปรึกษาโครงการ	ดร.พงษ์ธร จุพพันธ์ทอง	
สาขาวิชา	วิศวกรรมโยธา	
ภาควิชา	วิศวกรรมโยธา	
ปีการศึกษา	2557	

คณะวิศวกรรมศาสตร์ มหาวิทยาลัยนเรศวร อนุมัติให้ปริญญานิพนธ์ฉบับนี้เป็นส่วนหนึ่งของการศึกษาตามหลักสูตรวิศวกรรมศาสตร์บัณฑิต สาขาวิศวกรรมโยธา

(ดร.พงษ์ธร จุพพันธ์ทอง) ที่ปรึกษาโครงการ

(ผศ.ดร.สสิกรรณ์ เหลืองวิชชเจริญ) กรรมการ

ชื่อหัวข้อโครงการ	การสังเคราะห์ซีเมนต์สะอาดจากวัสดุจากอุตสาหกรรม		
ผู้ดำเนินโครงการ	นายครินทร์ พึงสมบัติ	รหัส 54361305	
	นายกันธ์อ่อนก กันอุปทิ้ง	รหัส 54364436	
ที่ปรึกษาโครงการ	ดร.พงษ์ธร จุพันธ์ทอง		
สาขาวิชา	วิศวกรรมโยธา		
ภาควิชา	วิศวกรรมโยธา		
ปีการศึกษา	2557		

บทคัดย่อ

งานวิจัยนี้มีจุดประสงค์เพื่อศึกษาแนวทางความเป็นไปได้ในการนำกาภอุตสาหกรรมกลับมาใช้ใหม่ โดยเลือกชนิดของวัสดุจากอุตสาหกรรมที่มีคุณสมบัติเหมาะสมมาใช้เป็นวัสดุตั้งต้นในผลิตซีเมนต์ โดยในขั้นต้นได้ทำการศึกษาคุณสมบัติเชิงเคมีและฟิสิกส์ของวัสดุจากอุตสาหกรรมประเภทต่างๆ ที่สนใจ จากนั้นจึงทำการเผาวัสดุตั้งกล่าวที่อุณหภูมิระหว่าง 1200 – 1450 °C เป็นเวลา 1 ชั่วโมง จากการคัดเลือกชนิดของวัสดุและผสมในสัดส่วนต่างๆ โดยใช้ค่าองค์ประกอบออกไซด์และปฏิกิริยาทางเคมีของวัสดุเป็นเกณฑ์กำหนด การศึกษาวิจัยพบว่า ผุนพินอ่อน, ดินขาว และผุนศิลาแลง ซึ่งเป็นกาภ วัสดุอุตสาหกรรมนั้นมีองค์ประกอบทางเคมีตรงกับองค์ประกอบหลักในปูนซีเมนต์ที่ต้องการ จึงได้ทำวิจัยขึ้นเพื่อหาอัตราส่วนที่เหมาะสม เพื่อนำไปทดสอบทางคุณภาพรีตเทคโนโลยีในงานวิศวกรรมต่อไป

Project title	Synthesizing green cement from industrial waste materials for use as cement replacement material in concrete industrial	
Name	Mr. Nakarin Pheongsombut	ID. 54361305
	Mr. Kananak Kanupat	ID. 54364436
Project advisor	Dr. Phongthorn Julphunthong	
Major	Civil Engineering	
Department	Civil Engineering	
Academic year	2014	

Abstract

This research aims to preliminary study on the synthesizing of a new cement-like materials from several industrial wastes. The study was focused on selection and determination of appropriate proportions of certain types of wastes for the clinkerization processes. In preliminary, the chemical and physical properties of raw wastes were investigated. The selected wastes were burned in an electric furnace by varying the temperatures between 1200 - 1,450 °C for 1 h. Based on the chemical compositions and chemistry of the material, the marble dust, china clay and laterite dust were selected as a raw materials. The study reveals that the chemical composition and the main component in cement to meet demand. We have done extensively research to find the optimal ratio in mixed proportions and calcining condition.

กิตติกรรมประกาศ

ปริญญาบัตรนี้สำเร็จลุล่วงไปด้วยดี เพาะระได้ความอนุเคราะห์จาก ดร.พงษ์ธร จุฬพันธ์ทอง
ซึ่งเป็นอาจารย์ที่ปรึกษาโครงงานที่ให้ความรู้ คำปรึกษา ตรวจสอบแก้ไข และคำแนะนำในการแก้ไข¹
ปัญหา รวมไปถึงคำชี้แนะในขั้นตอนการทำงานของโครงงานนี้สำเร็จลุล่วงไปด้วยดี ขอขอบพระคุณ
อาจารย์เป็นอย่างสูง

คณะผู้ดำเนินโครงการวิศวกรรม

นายนคินทร์ พึงสมบัติ

นายกันธ์เอนก กันอุปัท้ว

พฤษภาคม 2558

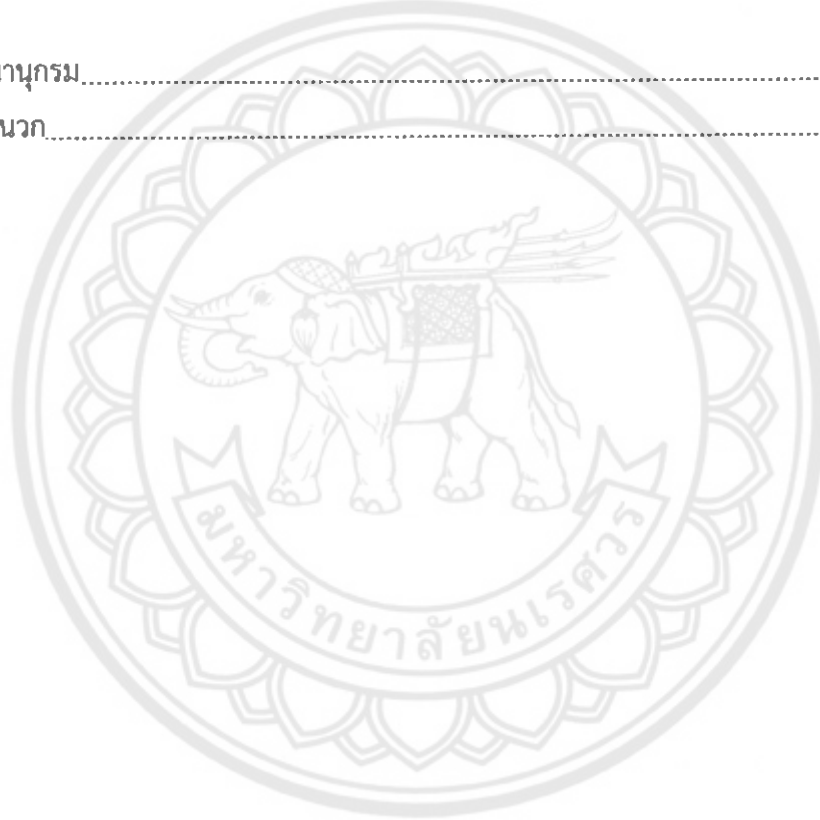


สารบัญ

	หน้า
ใบรับรองปริญญาบัณฑิต	๙
บทคัดย่อภาษาไทย	๑๐
บทคัดย่อภาษาอังกฤษ	๑๑
กิตติกรรมประกาศ	๑๒
สารบัญ	๑๓
สารบัญตาราง	๑๔
สารบัญรูป	๑๕
บทที่ 1 บทนำ	๑
1.1 ความเป็นมาและความสำคัญของโครงการ	๑
1.2 วัตถุประสงค์ของโครงการ	๒
1.3 ผลที่คาดว่าจะได้รับ	๓
1.4 ขอบเขตการดำเนินการ	๓
1.5 ขั้นตอนในการทำโครงการ	๓
1.6 แผนการดำเนินงานตลอดโครงการ	๔
1.7 รายละเอียดงบประมาณตลอดโครงการ	๕
บทที่ 2 หลักการและทฤษฎี	๖
2.1 ชีเมนต์(Cement)	๖
2.2 ปฏิกิริยาเคมีในกระบวนการเผาสังเคราะห์ชีเมนต์	๙
2.3 คุณสมบัติของสารประกอบ	๑๒
2.4 การวิเคราะห์คุณสมบัติพื้นฐานของวัสดุ	๑๔
2.5 วรรณกรรมที่เกี่ยวข้อง	๑๘
บทที่ 3 วิธีการทดลอง	๒๒
3.1 อุปกรณ์ที่ใช้ในการทดลอง	๒๒
3.3 วัสดุที่ใช้ในการทดลอง	๒๓
3.4 การเตรียมวัสดุ	๒๓
3.5 วิธีการทดลอง	๒๓

สารบัญ(ต่อ)

	หน้า
บทที่ 4 ผลการทดลองและวิเคราะห์.....	25
4.1 การวิเคราะห์ทางเคมีและกายภาพของวัสดุ	25
4.2 ปฏิกิริยาเคมีของวัสดุ.....	26
4.3 การวิเคราะห์สัดส่วนทางเคมีที่ใช้ในการเผา.....	27
4.4 ผลการทดลอง.....	28
บทที่ 5 สรุปผลการทดลอง.....	44
บรรณานุกรม.....	45
ภาคผนวก.....	46



สารบัญตาราง

ตารางที่	หน้า
1.1 แผนการดำเนินงานตลอดโครงการ	4
2.1 ตัวอย่างปริมาณวัสดุตั้งต้น.....	7
2.2 ค่าออกแบบที่ต่างๆ ที่เป็นองค์ประกอบของปูนซีเมนต์ปอร์ตแลนด์.....	10
2.3 สารประกอบที่สำคัญของปูนซีเมนต์ปอร์ตแลนด์.....	11
2.4 ตัวอย่างการคำนวณหาสารประกอบหลัก.....	12
2.5 สมบัติทางเคมีและพิสิกส์ของซีเมนต์ปอร์ตแลนด์ (PC) และผุ่นหินอ่อน (MDW).....	19
2.6 อัตราส่วนผสมซีเมนต์-ผุ่นหินอ่อน-ยิปซัม เพื่อศึกษาคุณสมบัติคอนกรีต.....	20
4.1 ผลองค์ประกอบทางเคมีของวัสดุ.....	25
4.2 คำนวณอัตราส่วนการเผา.....	27
4.3 ผลวิเคราะห์เคมีจากการยิงรังสี XRF.....	29



สารบัญรูป

รูปที่	หน้า
2.1 กระบวนการผลิตซีเมนต์	8
2.2 ปฏิกิริยาเคมีในกระบวนการเผาวัตถุดิบเพื่อสังเคราะห์ซีเมนต์	9
2.3 รูปร่างลักษณะของ C_3S และ C_2S	13
2.4 หลักการทำงานของเครื่อง XRD	16
2.5 การกระจายขนาดอนุภาคของผุนหินอ่อน	18
2.6 รูปแสดงการเปรียบเทียบความสามารถในการรับแรงของตัวอย่างมอร์ต้าที่ผสมผุนหินอ่อนในสัดส่วนต่างๆ	20
2.7 Compressive strength ของคอนกรีตที่ผสมผุนหินอ่อนที่อัตราส่วนต่างๆ	21
4.1 TGA-DTA curves ของผุนหินอ่อน	26
4.2 TG-DTA curves ของซีเมนต์ผุนหินอ่อน	30
4.3 กราฟรูปแบบการเลี้ยวเบนของรังสีเอกซ์	31
4.4 กราฟ XRD และวิเคราะห์ธาตุของซีเมนต์ผุนหินอ่อนเผาที่อุณหภูมิ 1200 องศาเซลเซียส	32
4.5 กราฟ XRD และวิเคราะห์ธาตุของซีเมนต์ผุนหินอ่อนเผาที่อุณหภูมิ 1250 องศาเซลเซียส	33
4.6 กราฟ XRD และวิเคราะห์ธาตุของซีเมนต์ผุนหินอ่อนเผาที่อุณหภูมิ 1300 องศาเซลเซียส	34
4.7 กราฟ XRD และวิเคราะห์ธาตุของซีเมนต์ผุนหินอ่อนเผาที่อุณหภูมิ 1350 องศาเซลเซียส	35
4.8 กราฟ XRD และวิเคราะห์ธาตุของซีเมนต์ผุนหินอ่อนเผาที่อุณหภูมิ 1400 องศาเซลเซียส	36
4.9 กราฟ XRD และวิเคราะห์ธาตุของซีเมนต์ผุนหินอ่อนเผาที่อุณหภูมิ 1450 องศาเซลเซียส	37
4.10 รูปพื้นผิวโครงสร้างจุลภาค SEM และกราฟ EDS ของ ซีเมนต์ผุนหินอ่อนเผาที่อุณหภูมิ 1200 องศาเซลเซียส	38
4.11 รูปพื้นผิวโครงสร้างจุลภาค SEM และกราฟ EDS ของ ซีเมนต์ผุนหินอ่อนเผาที่อุณหภูมิ 1250 องศาเซลเซียส	39
4.12 รูปพื้นผิวโครงสร้างจุลภาค SEM และกราฟ EDS ของ ซีเมนต์ผุนหินอ่อนเผาที่อุณหภูมิ 1300 องศาเซลเซียส	40
4.13 รูปพื้นผิวโครงสร้างจุลภาค SEM และกราฟ EDS ของ ซีเมนต์ผุนหินอ่อนเผาที่อุณหภูมิ 1350 องศาเซลเซียส	41
4.14 รูปพื้นผิวโครงสร้างจุลภาค ของซีเมนต์ผุนหินอ่อนเผาที่อุณหภูมิ 1400 องศาเซลเซียส	42
4.15 รูปพื้นผิวโครงสร้างจุลภาค SEM และกราฟ EDS ของ ซีเมนต์ผุนหินอ่อนเผาที่อุณหภูมิ 1450 องศาเซลเซียส	43

บทที่ 1

၁၇၂

ประเทศไทยในปัจจุบันมีการพัฒนาความเจริญในด้านต่างๆเป็นอย่างยิ่งโดยเฉพาะทางด้านเศรษฐกิจ ซึ่งมีการมุ่งพัฒนาเป็นประเทศอุตสาหกรรมขนาดใหญ่และปัญหาที่คาดว่าจะเกิดตามมาจากการพัฒนาในกระบวนการผลิตในทางอุตสาหกรรมคือ ปัญหาการเพิ่มขึ้นของขยะอุตสาหกรรม และการขาดประสิทธิภาพในการกำจัดของเสีย จากข้อมูลของกรมควบคุมมลพิษพบว่าปริมาณขยะอุตสาหกรรมในประเทศไทยมีแนวโน้มเพิ่มสูงขึ้นในทุกๆปีรัฐบาลต้องใช้งบประมาณเป็นจำนวนมากในการกำจัดขยะอุตสาหกรรมให้ถูกวิธีเพื่อป้องกันสารพิษตกค้าง ซึ่งอาจจะส่งผลต่อปัญหามลภาวะสิ่งแวดล้อมอีกด้วย วิธีการที่จะแก้ปัญหาการเพิ่มขึ้นของขยะอุตสาหกรรมประการหนึ่งก็คือ การลดปริมาณขยะอุตสาหกรรม แต่ในปัจจุบันแนวคิดที่พยายามนำขยะอุตสาหกรรมมาใช้ประโยชน์ใหม่ เพื่อเป็นวัสดุก่อสร้างกำลังเป็นที่นิยมและได้รับความสนใจเป็นอย่างมากเช่น การผลิตปูนซีเมนต์จากขยะโรงงานอุตสาหกรรม ซึ่งหลักการดังกล่าวจะนอกจากจะช่วยลดมลภาวะที่จะเกิดขึ้นต่อสิ่งแวดล้อมแล้วยังเป็นการเพิ่มมูลค่าของขยะอุตสาหกรรมอีกด้วย

งานวิจัยนี้มีวัตถุประสงค์เพื่อศึกษาความเป็นไปได้เบื้องต้นในการผลิตสารเชื่อมประสานที่มีลักษณะเทียบเคียงกับปูนซีเมนต์ โดยการนำขยะจากโรงงานอุตสาหกรรมประเกหต่างๆ ที่มีศักยภาพเหมาะสมมากับมาใช้เป็นวัตถุดิบตั้งต้นหลักในขั้นตอนของอุตสาหกรรมผลิตซีเมนต์โดยขยายที่ถูกคัดเลือกจะต้องสอดคล้องกับเกณฑ์ จากนั้นทำการทดลองหาปริมาณสัดส่วนของกากวัสดุ อุตสาหกรรมโดยใช้อัตราระบบกอนและปฏิริยาทางเคมีของวัสดุเป็นเกณฑ์กำหนด ศึกษาปัจจัยจากอนุภูมิในการเผาและทดสอบคุณสมบัติเบื้องต้นของซีเมนต์สังเคราะห์โดยจะกล่าวในบทต่อไป

1.1 ความสำคัญและที่มาของปัญหาที่ทำการวิจัย

ค่อนกรีตเป็นวัสดุก่อสร้างที่ใช้อย่างแพร่หลายที่สุดในประเทศไทย เนื่องจากเป็นวัสดุที่มีความสามารถในการรับกำลังอัดสูง มีความสามารถในการทนต่อการกัดกร่อนได้ดี และราคาที่ไม่สูงมากนักเมื่อเทียบกับวัสดุก่อสร้างอื่นๆ อย่างเหล็กหรือไม้ องค์ประกอบหลักของคอนกรีตได้แก่ ซีเมนต์, หิน, ทราย, น้ำ และอาจมีวัสดุเสริมพิเศษอื่นๆ แล้วกันอย่างตันทุนหลักของคอนกรีตได้แก่ซีเมนต์ซึ่งคิดเป็นร้อยละ 84 ของตันทุนวัสดุคอนกรีต [1] นอกจากนี้ซีเมนต์ยังถูกใช้เป็นวัสดุเชื่อมประสานสำหรับวัสดุก่อสร้างอื่นๆ อีกมากมาย เช่น คอนกรีตบล็อก, คอนกรีตมวลเบา และอิฐดินประสาน ในแต่ละปี ทั่วโลกมีความต้องการใช้ซีเมนต์มหาศาล เช่น ในปี 2556 ทั่วโลกมีการผลิตซีเมนต์ถึงประมาณ 3,500 เมกะตัน ซึ่งกระบวนการผลิตซีเมนต์มีการใช้เชื้อเพลิงมหาศาลทั้งเพื่อบดวัตถุดิบและบดเม็ดปูน รวมถึงการเผาวัตถุดิบที่อุณหภูมิสูงประมาณ 1,450 องศา-เซลเซียส การใช้เชื้อเพลิงมหาศาลเหล่านี้ส่งผลให้เกิดการปล่อยก๊าซคาร์บอนไดออกไซด์สูงสุดถึงร้อยละ 6 ของปริมาณการว่าอุตสาหกรรมซีเมนต์ส่งผลให้เกิดการปล่อยก๊าซ CO₂ สู่ชั้นบรรยากาศถึงร้อยละ 55 ของลงมาคือการใช้พลังงานในการเผาวัตถุดิบประมาณร้อยละ 25 [2] ดังนั้น การหากรับทราบการในการลดการใช้พลังงานทั้งในส่วนการบดวัตถุดิบ

และเม็ดปูนรวมถึงการลดใช้พลังงานในการในการเผาต่ำดินในกระบวนการผลิตซีเมนต์จึงเป็นเรื่องที่มีความสำคัญอย่างยิ่ง เนื่องจากส่วนใหญ่ทั้งในด้านเศรษฐศาสตร์และด้านผลกระทบต่อสิ่งแวดล้อมเนื่องจากกระบวนการผลิตซีเมนต์

อุตสาหกรรมบางประเภท เช่น อุตสาหกรรมการแปรรูปหินอ่อน, อุตสาหกรรมย่อยหินปูนเพื่อการก่อสร้างและอุตสาหกรรมการผลิตกระเบื้องหิน กำลังให้เกิดของเสียจากการกระบวนการผลิต เช่น ฝุ่นหินอ่อน, ฝุ่นศิลาแลง หรือ เถ้าถ่านหิน ซึ่งกากจากอุตสาหกรรมเหล่านี้มักอยู่ในรูปของเส้นใยที่มีขนาดใกล้เคียงกับขนาดของหินปูนที่บดแล้วสำหรับเป็นวัตถุดินในการผลิตซีเมนต์อยู่แล้วและมีองค์ประกอบทางเคมีคล้ายคลึงกับวัตถุดินที่ใช้ในกระบวนการผลิตซีเมนต์ คือ ประกอบด้วย แคลเซียมคาร์บอนेट (CaCO_3) และ ชิลิกาออกไซด์ (SiO_2) ดังนั้นหากอุตสาหกรรมดังกล่าวมีแนวโน้มที่จะนำมายังการใช้เป็นวัตถุดินในการสังเคราะห์ซีเมนต์ได้เช่นกัน นอกจากนี้ อุตสาหกรรมเหล่านี้มักตั้งอยู่ไม่ไกลจากที่ตั้งของโรงงานผลิตปูนซีเมนต์ เช่น จังหวัดสระบุรี หรือ จังหวัดลำปาง จึงไม่ส่งผลกระทบในด้านต้นทุนการขนส่งมากนัก อย่างไรก็ตามที่ผ่านมาอย่างไม่มีผู้วิจัยศึกษาความเป็นไปได้ในการใช้กากอุตสาหกรรมดังกล่าวในการเป็นวัตถุดินตั้งต้นสำหรับการผลิตซีเมนต์ ดังนั้น การวิจัยเกี่ยวกับการนำกากอุตสาหกรรมดังกล่าวมาเป็นวัตถุดินตั้งต้นในการสังเคราะห์ซีเมนต์จึงส่งผลดีทั้งในด้านลดต้นทุนการใช้เชื้อเพลิงในส่วนการบดวัตถุดินสำหรับกระบวนการผลิตซีเมนต์รวมถึงลดการปล่อยก๊าซ CO_2 สู่ชั้นบรรยากาศจากการกระบวนการผลิตซีเมนต์แล้วยังช่วยลดปัญหาการกำจัดกากอุตสาหกรรมของอุตสาหกรรมการแปรรูปหินอ่อน, อุตสาหกรรมย่อยหินปูนเพื่อการก่อสร้าง, อุตสาหกรรมการผลิตศิลาแลง และอุตสาหกรรมการผลิตกระเบื้องหินถ่านหินอีกด้วย

1.2 วัตถุประสงค์ของโครงการ

วัตถุประสงค์หลักของงานวิจัยนี้คือการศึกษาสมบัติทางฟิสิกส์และองค์ประกอบทางเคมีที่มีแนวโน้มในการเป็นวัสดุตั้งต้นในการผลิตซีเมนต์ของกากอุตสาหกรรมต่างๆโดยวัตถุประสงค์ของการวิจัยประกอบไปด้วย

- 1.2.1 เพื่อศึกษาสมบัติทางฟิสิกส์และองค์ประกอบทางเคมีของกากอุตสาหกรรมที่มีแนวโน้มเป็นวัสดุตั้งต้นในการผลิตซีเมนต์ได้ เช่น ฝุ่นหินอ่อน, ฝุ่นศิลาแลง, ดินขาวหรือกากอุตสาหกรรมอื่นๆ
- 1.2.2 เพื่อศึกษาเงื่อนไขในการสังเคราะห์ซีเมนต์จากวัสดุกากอุตสาหกรรม เช่น ชนิดของวัสดุที่เหมาะสม, ปริมาณสัดส่วนที่เหมาะสม, อุณหภูมิและระยะเวลาที่เหมาะสมในการเผา
- 1.2.3 เพื่อศึกษาผลของอุณหภูมิในการเผาต่อสมบัติของซีเมนต์ที่สังเคราะห์ได้

1.3 ผลที่คาดว่าจะได้รับ

- 1.3.1 เป็นการสร้างแนวทางใหม่ในการใช้ประโยชน์จากวัสดุเหลือใช้จากภาคอุตสาหกรรม
- 1.3.2 เป็นการสร้างแนวทางใหม่ในการลดต้นทุนการผลิตและลดผลกระทบต่อสิ่งแวดล้อมในกระบวนการผลิตซีเมนต์

1.3.3 เป็นการเพิ่มนุ่มค่าของผู้ที่น้อยกว่า ผู้ศึกษาและดินขาว จำกัดสุดากอุสาหกรรม

1.4 ขอบเขตการทำโครงการ

การวิจัยนี้ใช้ผู้นักการผลิตที่น้อยกว่า ผู้นักกระบวนการผลิตศึกษาและดินขาว จำกัดสุดากอุตสาหกรรม เช่น X-ray fluorescence (XRF), X-ray diffraction (XRD), Thermogravimetric analyzer (TGA), Differential thermal analysis (DTA), Scanning electron microscope (SEM) เพื่อประเมินความเหมาะสมในการเป็นวัสดุตั้งต้นในการสังเคราะห์ซีเมนต์ ศึกษาเงื่อนไขต่างๆ ที่เหมาะสม ในการสังเคราะห์ซีเมนต์จากวัสดุที่เลือก เช่น ปริมาณและชนิดของวัสดุกากอุตสาหกรรม, อุณหภูมิ และระยะเวลาที่เหมาะสมในการเผา, ความละอียดของซีเมนต์ที่ได้จากการเผา และองค์ประกอบทางเคมี ของซีเมนต์ที่มาจากวัสดุกากอุตสาหกรรม

1.5 ขั้นตอนในการทำโครงการ

- 1.5.1 สำรวจแหล่งวัสดุกากอุตสาหกรรมและศึกษาสมบัติเชิงเคมีและฟิสิกส์ของวัสดุกากอุตสาหกรรมที่มีแนวโน้มเป็นวัสดุตั้งต้นสำหรับสังเคราะห์ซีเมนต์โดยเฉพาะองค์ประกอบทางเคมี ได้แก่ CaO, SiO₂, Al₂O₃ และ Fe₂O₃
- 1.5.2 ศึกษาเงื่อนไขต่างๆ ที่เหมาะสมสำหรับการสังเคราะห์ซีเมนต์สะอาดจากวัสดุกากอุตสาหกรรม และศึกษาเงื่อนไขการสังเคราะห์ซีเมนต์สะอาดจากวัสดุกากอุตสาหกรรม เช่น ชนิดวัสดุและสัดส่วนที่เหมาะสม, อุณหภูมิที่เหมาะสมสำหรับการเผาที่เหมาะสม
- 1.5.3 ทดสอบสมบัติเชิงเคมี-ฟิสิกส์ของซีเมนต์ที่สังเคราะห์ และศึกษาผลจากการเกิดปฏิกิริยาเคมีขณะสังเคราะห์ซีเมนต์ โดยการวิเคราะห์ Thermal analysis, วิเคราะห์องค์ประกอบทางเคมีด้วยเทคนิค XRF และ XRD และวิเคราะห์สมบัติที่สนใจ เช่น particle size distribution และ surface area
- 1.5.4 สรุปผลการวิจัย

1.6 แผนการดำเนินงานตลอดโครงการ

ตารางที่ 1.1 แผนการดำเนินงานตลอดโครงการ

1.7 งบประมาณ

1. ค่าวัสดุสำนักงาน	200	บาท
2. ค่าวัสดุคอมพิวเตอร์	300	บาท
3. ค่าวัสดุน้ำมันหรือเชื้อเพลิงและหล่อลื่น	500	บาท
4. ค่าจ้างถ่ายเอกสารหรือจัดทำรูปเล่น	1,000	บาท
รวมเป็นเงินทั้งสิ้น	2,000	บาท

(สามพันบาทถ้วน)

หมายเหตุ : ขออนุมัติถ้าเฉลี่ยทุกรายการ



บทที่ 2

หลักการและทฤษฎี

2.1 ซีเมนต์ (cement)

ซีเมนต์ (cement) เป็นวัสดุเชื่อมประสานสำหรับผลิตคอนกรีตและวัสดุก่อสร้างที่สำคัญ ต่างๆ ในงานก่อสร้าง เช่น คอนกรีตบล็อก, คอนกรีตมวลเบา, อิฐดินประสาน ปูนฉาบในฐานะวัสดุเชื่อมประสาน ซีเมนต์ที่ผ่านกระบวนการผลิตจากโรงงานประกอบด้วยสารประกอบหลัก 4 ชนิด ได้แก่ tricalcium silicate (C_3S), dicalcium silicate (C_2S), tricalcium aluminate (C_3A) และ tetracalcium aluminoferrite (C_4AF) [7] เมื่อสารประกอบเหล่านี้ทำการปฏิกิริยา กับน้ำ (hydration) จะเกิดสารประกอบ calcium silicate hydrate หรือ CHS ($C_3S_2H_3$) ซึ่งเป็นวัสดุเชื่อมประสาน

2.1.1 วัตถุดิบที่ใช้ในการผลิตปูนซีเมนต์ แบ่งออกเป็น 3 ชนิดใหญ่ๆ ดังนี้

1. วัตถุดิบที่มีส่วนประกอบของปูนขาว (Lime Component) เป็นวัตถุดิบที่มีส่วนประกอบทางเคมีเป็นแคลเซียมคาร์บอนेट (Calcium Carbonate, $CaCO_3$) ซึ่งมีความบริสุทธิ์ประมาณ 85 – 95 % ตัวอย่างวัตถุเหล่านี้ตามธรรมชาติ ได้แก่ หินปูน (Limestone), ชอล์ค (Chalk) และดินขาว (Marl)

2. วัตถุดิบที่มีส่วนประกอบของดินดาน (Clay) เป็นวัตถุดิบที่มีส่วนประกอบทางเคมีของ ชิลิกาออกไซด์ (SiO_2), อะลูมินาออกไซด์ (Al_2O_3) และเฟอร์ริโกออกไซด์ (Fe_2O_3) ตัวอย่างวัตถุเหล่านี้ ตามธรรมชาติ ได้แก่ ดินเหนียว (Clay) และดินดาน (Shale)

3. วัตถุดิบปรับแต่งคุณสมบัติ (Corrective Materials) เป็นวัตถุดิบที่ใช้สำหรับเพิ่มเติมสารประกอบบางตัวซึ่งมีไม่เพียงพอในดินดาน วัตถุดิบเหล่านี้ได้แก่ ทราย (ในกรณีที่ต้องการชิลิกาออกไซด์), แร่เหล็กหรือดินกลุ้กรัง (ในกรณีที่ต้องการเฟอร์ริโกออกไซด์) และดินอะลูมินา (ในกรณีที่ต้องการอะลูมิโนออกไซด์) เป็นต้น

ตารางที่ 2.1 ตัวอย่างปริมาณวัสดุตั้งตันที่ใช้ในการผลิตซีเมนต์ [7]

	Lime stone	Shale	Sand	Iron oxide	Clinker made from the dry raw material
Dry material used	73	22.5	4.2	0.3	-
SiO ₂	1.4	37.9	95.0	2.7	20.3
Al ₂ O ₃	0.5	16.5	1.4	6.6	6.2
Fe ₂ O ₃	0.2	5.1	1.3	84.0	2.4
CaO	53.7	15.4	1.0	2.7	64.1
CaCO ₃	95.9	27.5	-	-	-
Product of cement clinker					
Tricalcium silicate (C ₃ S)					57
Dicalcium silicate (C ₂ S)					15
Tricalcium aluminate (C ₃ A)					12.4
Tetracalcium aluminoferrite (C ₄ AF)					7.3

2.1.2 กระบวนการผลิตซีเมนต์

ขั้นตอนที่ 1 นำวัตถุดิบหลักที่ใช้ในกระบวนการผลิตจากแหล่งน้ำคือ หินปูน (Limestone) และ ดินดาน (Shale) ซึ่งได้จากการเบิดทิනจากภูเขาหินปูนmanyang ที่ทำการผลิต

ขั้นตอนที่ 2 นำดินทั้งสองชนิดมาลดขนาดลงเพื่อให้เหมาะสมกับกระบวนการผลิตขั้นต่อไป โดยการนำมาผ่านเครื่องย่อย (Crusher) ซึ่งวัตถุดิบที่ผ่านการย่อยแล้วจะถูกนำมาเก็บไว้ที่กองเก็บวัตถุดิบ (Storage yard) นอกจากรถบรรทุกนำส่งแต่่ก่อนสมบัติ (Corrective materials) ซึ่งใช้เฉพาะบางตัว เพื่อให้ได้ส่วนประกอบทางเคมีตามค่ามาตรฐานที่กำหนด วัตถุดิบอื่นเหล่านี้ก็ต้องผ่านเครื่องย่อยเพื่อลดขนาดให้เหมาะสมเช่นกัน

ขั้นตอนที่ 3 นำเสียงไปยังหม้อนบดวัตถุดิบ (Raw mill) ซึ่งในหม้อนบดวัตถุดิบนี้จะบดหินปูน, ดินดาน และวัตถุดิบปรับแต่งคุณสมบัติให้เป็นผงละเอียดรวมกันซึ่งเรียกว่า วัตถุดิบสำเร็จ (Raw meal) โดยการควบคุมอัตราส่วนของวัตถุดิบที่ป้อนเข้าสู่หม้อนบดวัตถุดิบมีความสำคัญมาก เนื่องจากอัตราส่วนของวัตถุดิบที่เหมาะสมจะทำให้วัตถุดิบสำเร็จนี้มีคุณสมบัติทางเคมีที่เหมาะสมกับการเผาด้วย

ขั้นตอนที่ 4 หลังจากผ่านกระบวนการบดแล้ววัตถุดิบสำเร็จจะถูกลำเลียงผ่านเครื่องแยกวัตถุดิบผสมแล้ว (Cyclone) ไปยังยุงผสมวัตถุดิบสำเร็จ (Raw meal homogenizing silo) เพื่อเก็บและผสมวัตถุดิบสำเร็จให้เป็นเนื้อเดียวกัน

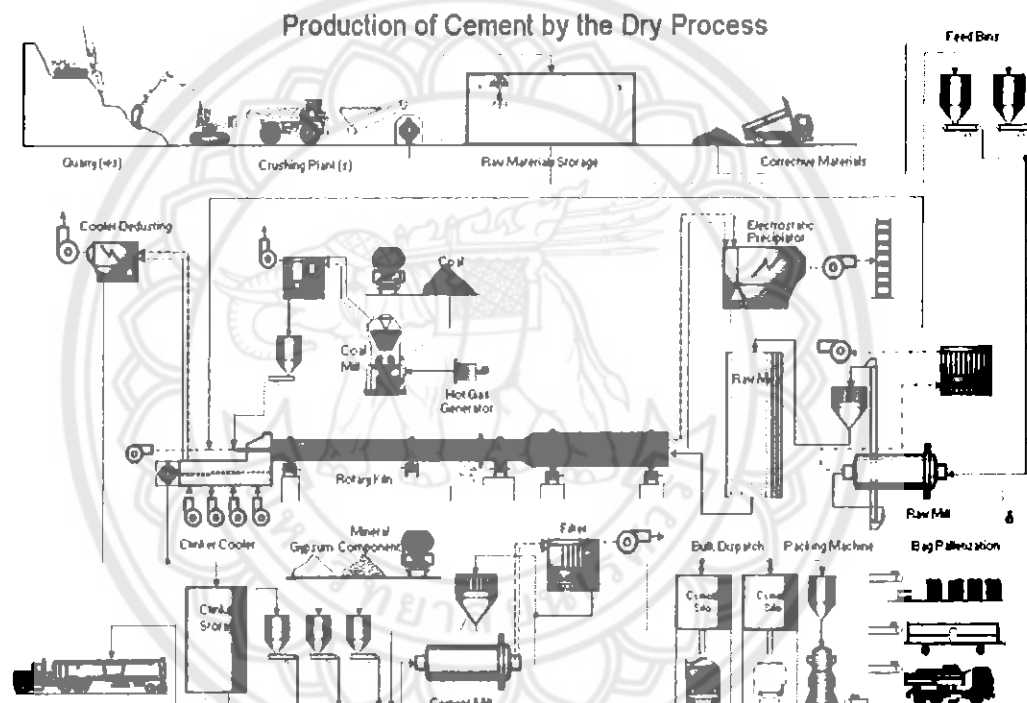
ขั้นตอนที่ 5 จะเป็นกระบวนการเผาโดยวัตถุดิบสำเร็จจะถูกส่งไปเผาในหม้อเผาแบบหมุน (Rotary kiln) โดยกระบวนการเผาช่วงแรกเป็น ชุดเพิ่มความร้อน (Preheater) ซึ่งจะค่อยๆเพิ่มความร้อนให้แก่วัตถุดิบสำเร็จแล้วส่งวัตถุดิบสำเร็จไปเผาในหม้อเผา ซึ่งมีอุณหภูมิเพิ่มสูงขึ้นจนถึงประมาณ 1,200 – 1,450 องศาเซลเซียส จะเกิดปฏิกิริยาทางเคมีตามลำดับจนในที่สุดกลายเป็นปูนเม็ด (Clinker)

ขั้นตอนที่ 6 เป็นการทำให้ปูนเม็ดเย็นลงโดยการนำปูนเม็ด (Clinker) ไปผ่านหม้อเย็น (Clinker cooler)

ขั้นตอนที่ 7 ลำเลียงปูนเม็ดไปเก็บไว้ที่ยังเก็บเพื่อรอการบดปูนเม็ดต่อไป

ขั้นตอนที่ 8 เป็นขั้นตอนการบดปูนเม็ดให้กลายเป็นปูนซีเมนต์ ทำโดยนำปูนเม็ดมาผสมกับ ยิปซัม(Gypsum) ที่ถูกย่อยแล้ว จากนั้นก็บดให้ละเอียดเป็นผงในหม้อบดซีเมนต์ (Cement Mill) ความละเอียดในการบดและอัตราส่วนระหว่างปูนเม็ดกับยิปซัมต้องเลือกอย่างเหมาะสม เพื่อให้ได้ ปูนซีเมนต์ที่มีคุณสมบัติตามที่ต้องการ

ขั้นตอนที่ 9 จากนั้นปูนซีเมนต์จะผ่านเครื่องแยกปูนละเอียด และจะถูกลำเลียงไปเก็บไว้ใน Cement silo เพื่อรอการจำหน่ายต่อไป

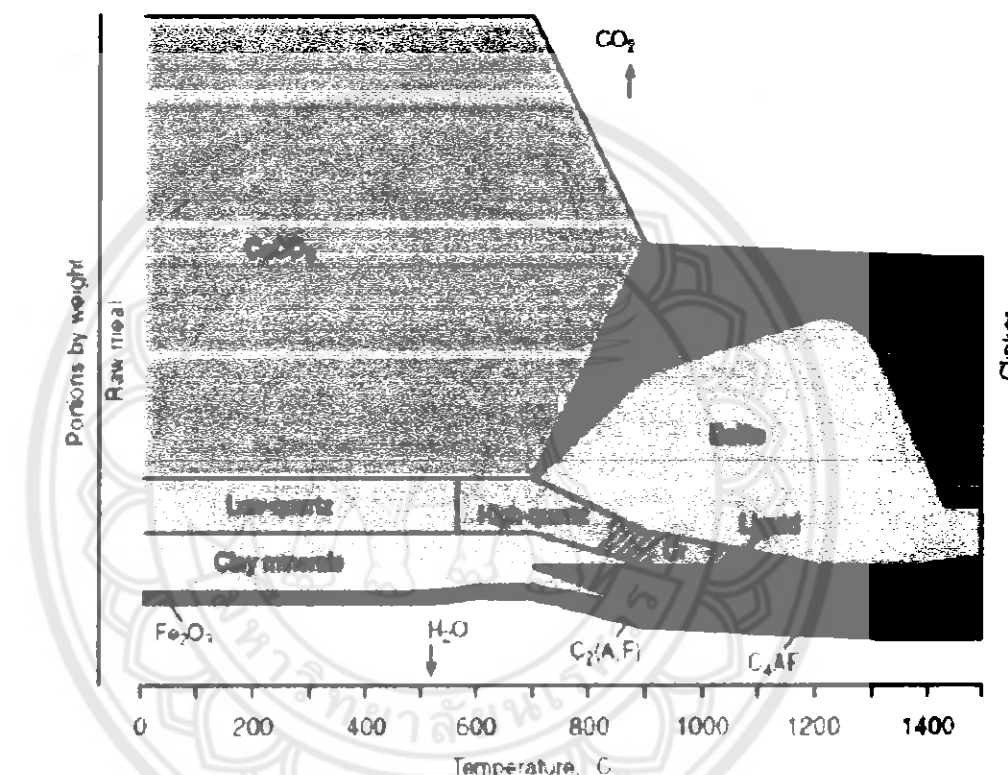


รูปที่ 2.1 กระบวนการผลิตซีเมนต์

ถึงแม้มีความเป็นไปได้ในเบื้องต้นในด้านองค์ประกอบทางเคมีของหาก奥ุสาหกรรมหลายชนิดมีความเป็นไปได้ในการนำมาประยุกต์ใช้เป็นวัสดุตั้งต้นในการสังเคราะห์ซีเมนต์ แต่ยังไม่มีการศึกษาอย่างละเอียดร่วมถึงยังมีความเป็นไปได้ของหากอุสาหกรรมอื่นที่ยังไม่ได้ประเมินความเป็นไปได้เบื้องต้นในการประยุกต์ใช้เป็นวัสดุตั้งต้นในการสังเคราะห์ซีเมนต์ นอกจากนี้ยังมีความจำเป็นต้องศึกษาเงื่อนไขปริมาณสัดส่วนวัสดุที่เหมาะสม, เงื่อนไขในการเผา เพื่อสังเคราะห์ซีเมนต์ รวมถึงสมบัติทางวิศวกรรมของซีเมนต์ที่สังเคราะห์จากหากอุสาหกรรมดังกล่าว

2.2 ปฏิกิริยาเคมีในกระบวนการเผาสังเคราะห์ซีเมนต์

การสังเคราะห์ซีเมนต์ปอร์ตแลนด์ประเภท 1 สามารถทำได้โดยนำวัตถุดิบตั้งต้นที่มีองค์ประกอบของแคลเซียมคาร์บอนেต (CaCO_3), ซิลิกาออกไซด์ (SiO_2), อัลูมินาออกไซด์ (Al_2O_3) และเฟอร์ริกออกไซด์ (Fe_2O_3) ในสัดส่วนที่เหมาะสมจากวัสดุต่างๆ (ตารางที่ 2.1) มาผสมกันแล้วทำการเผาที่อุณหภูมิสูงประมาณ 1,450-1,600 องศาเซลเซียสเพื่อให้เกิดปฏิกิริยาเคมีและเกิดวัสดุเชื่อมประสาน 4 ชนิด ได้แก่ tricalcium silicate (C_3S), dicalcium silicate (C_2S), tricalcium aluminate (C_3A) และ tetracalcium aluminoferrite (C_4AF) (ตารางที่ 2.1)



รูปที่ 2.2 ปฏิกิริยาเคมีในกระบวนการเผาวัตถุดิบเพื่อสังเคราะห์ซีเมนต์ [8]

รูปที่ 2.2 แสดงกระบวนการเกิดวัสดุเชื่อมประสานในขณะเผาวัตถุดิบเพื่อสังเคราะห์ซีเมนต์ กระบวนการการเกิดวัสดุเชื่อมประสานเริ่มตั้งแต่ที่อุณหภูมิประมาณ 700 องศาเซลเซียส แคลเซียมคาร์บอนे�ตในหินปูนเริ่มถลายตัวเกิดเป็น free lime (CaO) ตามสมการ (1)



ที่อุณหภูมิประมาณ 800 องศาเซลเซียส free lime เริ่มทำงานปฏิกิริยากับ Al_2O_3 เกิดเป็น tricalcium aluminate ตามสมการ (2)



อุณหภูมิประมาณ 800 – 1,300 องศาเซลเซียส free lime เริ่มทำปฏิกิริยา กับ SiO_2 เกิดเป็น secondary silicate phase หรือ dicalcium silicate ตามสมการ (3)



เมื่อเพิ่มอุณหภูมิประมาณ 1,300 – 1,500 องศาเซลเซียส dicalcium silicate เกิดปฏิกิริยาเกิดเป็น tricalcium silicate ตามสมการ (4) และ tricalcium aluminate ทำปฏิกิริยา กับ free lime และ ferric oxide เกิดเป็น tetracalcium aluminoferrite ดัง แสดงในสมการ (5)



ตารางที่ 2.2 ค่าอกไซด์ต่างๆ ที่เป็นองค์ประกอบของปูนซีเมนต์บอร์ตแลนด์

ออกไซด์	เปอร์เซ็นต์โดยน้ำหนัก
ออกไซด์หลัก	
CaO	60 – 67
SiO ₂	17 – 25
Al ₂ O ₃	3 – 8
Fe ₂ O ₃	0.5 – 6.0
ออกไซด์รอง	
MgO	0.1 – 5.5
Na ₂ O + K ₂ O	0.5 – 1.3
TiO ₂	0.1 – 0.4
P ₂ O ₅	0.1 – 0.2
SO ₃	1 – 3

ออกไซด์หลัก จะรวมตัวในระหว่างการเกิดปูนเม็ด (Clinker) เกิดเป็นสารประกอบที่สำคัญ 4 อย่าง ดังแสดงในตารางที่ 2.3

ตารางที่ 2.3 สารประกอบที่สำคัญของปูนซีเมนต์ปอร์ตแลนด์

ชื่อสารประกอบ	ส่วนประกอบทางเคมี	ชื่อย่อ
ไตรแคลเซียม ซิลิกेट (Tricalcium Silicate)	$3\text{CaO} \bullet \text{SiO}_2$	C_3S
ไดแคลเซียม ซิลิกेट (Dicalcium Silicate)	$2\text{CaO} \bullet \text{SiO}_2$	C_2S
ไตรแคลเซียม อัลูมิเนต (Tricalcium Aluminate)	$3\text{CaO} \bullet \text{Al}_2\text{O}_3$	C_3A
เทตราแคลเซียม อัลูมิโนเฟอร์ไรท์ (Tetracalcium Aluminoferrite)	$4\text{CaO} \bullet \text{Al}_2\text{O}_3 \bullet \text{Fe}_2\text{O}_3$	C_4AF

เราสามารถคำนวณหาเปอร์เซ็นต์ของสารประกอบหลักทั้ง 4 ในปูนซีเมนต์ได้โดยประมาณ จากผลการวิเคราะห์ปริมาณออกไซเด茨นิดต่างๆ และอัตราส่วนการรวมตัวทางเคมีของสารประกอบนั้นๆ โดยใช้สูตรคำนวณของ Bougue ดังนี้

$$\text{C}_3\text{S} = 4.07 (\text{CaO}) - 7.60 (\text{SiO}_2) - 6.72 (\text{Al}_2\text{O}_3) - 1.43 (\text{Fe}_2\text{O}_3) - 2.85 (\text{SO}_3)$$

$$\text{C}_2\text{S} = 2.87 (\text{SiO}_2) - 0.754 (\text{C}_3\text{S})$$

$$\text{C}_3\text{A} = 2.65 (\text{Al}_2\text{O}_3) - 1.69 (\text{Fe}_2\text{O}_3)$$

$$\text{C}_4\text{AF} = 3.04 (\text{Fe}_2\text{O}_3)$$

ตัวเลขของการคำนวณ เปอร์เซ็นต์ของออกไซเดตในเนื้อของซีเมนต์ทั้งหมดและปริมาณ CaO ในสูตรที่ใช้คำนวณหาปริมาณต้องเป็น CaO ที่ทำปฏิกิริยาเท่านั้น ไม่รวม Free Lime ตัวอย่างการคำนวณหาสารประกอบหลักตามสูตรของ Bougue อยู่ในตารางที่ 2.4

ตารางที่ 2.4 ตัวอย่างการคำนวณหาสารประกอบหลัก

ออกไซเดต์ต่างๆ (%) ใน ปูนซีเมนต์ปอร์ตแลนด์	สารประกอบหลักคำนวณจากสมการ ของ Bogue
CaO	$C_3S = 4.07 \times (64.73 - 1.60) - 7.60$
SiO ₂	$\times (21.20) - 6.72 \times (5.22) - 1.43$
Al ₂ O ₃	$\times ((3.08) - 2.85 \times (2.01))$
Fe ₂ O ₃	$= 50.6\%$
MgO	$C_2S = 2.87 \times (21.20) - 0.754 \times (50.6)$
SO ₃	$= 22.7\%$
Na ₂ O	$C_3A = 2.65 \times (5.22) - 1.69 \times (3.08)$
K ₂ O	$= 8.6\%$
Loss of Ignition	$C_4AF = 3.04 \times (3.08)$
Insoluble Residue	$= 9.4\%$
Free Lime	

2.3 คุณสมบัติของสารประกอบ

2.3.1 คุณสมบัติของสารประกอบหลัก

- ไตรแคลเซียมซิลิกेट (C_3S)

C_3S เป็นสารประกอบที่มีรูปร่างเป็นผลึก 6 เหลี่ยมมีสีเทาเข้ม คุณสมบัติ C_3S เหมือนกับ คุณสมบัติของปอร์ตแลนด์ซีเมนต์ เมื่อผสมกับน้ำจะแข็งตัวภายใน 2-3 ชั่วโมงและจะมีกำลังอัดเพิ่มขึ้น อย่างมากในช่วงสัปดาห์แรกการเกิดปฏิกิริยา กับน้ำจะก่อให้เกิดความร้อน 500 จูลต่อกรัม กำลังอัด ของ C_3S ถูกกระทบโดยปริมาณยิปซัมปริมาณ C_3S ในปูนซีเมนต์ปอร์ตแลนด์จะมีประมาณ 35-55 %

- ไคแคลเซียมซิลิกेट (C_2S)

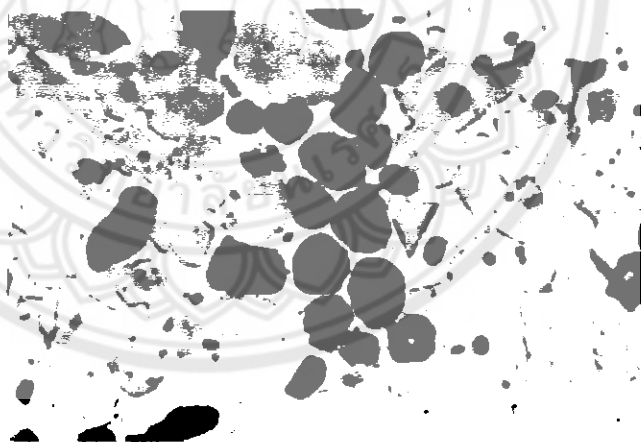
C_2S เป็นสารประกอบที่มีรูปร่างกลม โดย C_2S มีอยู่หลายรูปแบบ มีคุณสมบัติยืดเทาเมื่อผสมกับน้ำจะเกิดปฏิกิริยาໄ่เดรชัน โดยปล่อยความร้อน 250 จูลต่อกรัม เมื่อแข็งตัวจะพัฒนากำลังอัดอย่างมาก แต่ในระยะยาวจะได้กำลังอัดใกล้เคียงกับ C_3S ปริมาณ C_2S ในปูนซีเมนต์ปอร์ตแลนด์จะมีประมาณ 15-35 %

- ไตรแคลเซียมอุฐมิเนต (C_3A)

C_3A เป็นสารประกอบที่มีรูปร่างเป็นเหลี่ยมนูน สีเทาอ่อน C_3A จะทำปฏิกิริยากับน้ำทันที ก่อให้เกิด Flash Set และเกิดความร้อนจำนวนมาก ประมาณ 850 จูลต่อกรัม การป้องกัน Flash Set ทำได้โดยการเติมอิปซั่มลงระหว่างการบดซีเมนต์กำลังอัดของ C_3A จะพัฒนาขึ้นภายใน 1-2 วัน แต่กำลังอัดค่อนข้างต่ำ ปูนซีเมนต์ปอร์ตแลนด์จะมี C_3A อยู่ในปริมาณ 7-15 %

- เทตราแคลเซียมอุฐมิโนเพอร์ไซท์ (C_4AF)

C_4AF ทำปฏิกิริยากับน้ำรวดเร็วมาก และก่อตัวภายในไม่กี่นาที ความร้อนที่เกิดประมาณ 420 จูลต่อกรัมกำลังอัดของ C_4AF ค่อนข้างต่ำปูนซีเมนต์ปอร์ตแลนด์จะมี C_4AF อยู่ในปริมาณ 5-10 %



รูปที่ 2.3 รูปร่างลักษณะของ C_3S ซึ่งเป็นผลกรุ๊ป 6 เหลี่ยม และ C_2S เป็นเม็ดกลมคำ

2.3.2 สารประกอบรอง

อิปซั่ม ($CaSO_4 \cdot 2H_2O$)

อิปซั่มถูกใส่เข้าไปในระหว่างการบดเม็ดปูน เพื่อทำหน้าที่ควบคุมเวลาการแข็งตัวของปูนซีเมนต์ปริมาณอิปซั่มที่ใส่ต้องเหมาะสมเพื่อให้ซีเมนต์เกิดกำลังอัดสูงที่สุดและเกิดการหดตัวน้อยที่สุด ปริมาณอิปซั่มที่ใส่ขึ้นอยู่กับ

- อัลคาไลน์ออกไซด์ ได้แก่ Na_2O และ K_2O
- ปริมาณ C_3A
- ความละเอียดของปูนซีเมนต์

Free Lime (CaO)

Free Lime เกิดขึ้นได้สองกรณี คือ

- เมื่อวัตถุดิบมี Lime มากเกินไปจะทำให้ไม่สามารถทำปฏิกิริยา SiO_2 , Al_2O_3 และ Fe_2O_3 ได้หมด
- ปริมาณ Lime มีไม่มาก แต่ทำปฏิกิริยากับ Oxide ต่างๆไม่สมบูรณ์

แมgnีเซียมออกไซด์ (MgO)

วัตถุดิบในการผลิตซีเมนต์ส่วนใหญ่ จะมี MgCO_3 ซึ่งเมื่อเผาแล้วจะเกิดการแยกตัวให้ MgO และ CO_2 แมgnีเซียมออกไซด์บางส่วนจะหลอมละลายเป็นเนื้อปูนที่เหลือจะอยู่ในรูปของ MgO และเมื่อเกิดปฏิกิริยาไอลเรชันจะเหมือนกับ CaO คือปริมาณจะเพิ่มขึ้น ก่อให้เกิดการไม่ยุบตัว

อัลคาไลน์ออกไซด์ ($\text{Na}_2\text{O}, \text{K}_2\text{O}$)

อัลคาไลน์ออกไซด์ ที่อยู่ในปูนซีเมนต์จะส่งผลเสียในการณ์ที่ใช้มวลรวมบางประเภทที่ทำปฏิกิริยากับอัลคาไลน์มาผสมเป็นคอนกรีต ผลจากปฏิกิริยาจะก่อให้เกิดการขยายตัวดันให้คอนกรีตแตกร้าวได้หากต่อการแก้ไขในกรณีที่จำเป็นต้องใช้มวลรวมที่ทำปฏิกิริยากับอัลคาไลน์ การเลือกใช้ปูนซีเมนต์ที่อัลคาไลน์ต่ำๆ

2.4 การวิเคราะห์คุณสมบัติพื้นฐานของวัสดุ

2.4.1 X-ray Fluorescence (XRF)

XRF เป็นเทคนิคที่ใช้ในการวิเคราะห์ธาตุที่อยู่ในตัวอย่างทดสอบ โดยสามารถวิเคราะห์ได้ทั้งในเชิงปริมาณและคุณภาพ โดยสามารถใช้ได้กับงานวิจัยในหลายด้าน เช่น วัสดุศาสตร์, ธรณีวิทยา, สิ่งแวดล้อม, ทางการแพทย์ รวมถึงตัวอย่างจากอุตสาหกรรมด้านต่างๆเป็นต้น การวิเคราะห์ของเครื่อง XRF จะอาศัยหลักการเรื่องรังสีเอกซ์ของตัวอย่าง โดยจะยิงรังสีเอกซ์เข้าไปในตัวอย่างธาตุต่างๆที่อยู่ในตัวอย่างจะดูดกลืนรังสีเอกซ์แล้วคายพลังงานออกมานอกไป โดยพลังงานที่คายหรือ Fluorescence ออกมานั้น จะมีค่าพลังงานซึ่งกับชนิดของธาตุที่อยู่ในตัวอย่างนั้นๆ ทำให้เราสามารถแยกได้ว่าในตัวอย่างที่ทดสอบนั้นมีธาตุอะไรอยู่บ้าง โดยใช้ Detector วัดค่าพลังงานที่ออกมาระหว่าง

เมื่อรังสีเอ็กซ์ปัชมนญมิ (Primary X-ray Photon) จากหลอดรังสีเอ็กซ์พุ่งเข้าชนสารตัวอย่างจะเป็นผลให้อิเล็กตรอนวงในสุด (K-shell) ของอะตอมภายในสารตัวอย่างหลุดออกจากอะตอมในรูปของโฟโตอิเล็กตรอน (Photoelectron) ทำให้เกิดซึ่งว่างchein ในวงอิเล็กตรอนนั้น ซึ่งที่สภาวะนี้อะตอมจะไม่เสถียร อะตอมจะกลับสู่สภาวะที่เสถียรขึ้นโดยการเปลี่ยนระดับพลังงานของอิเล็กตรอน วงนอกเข้ามาแทนที่ซึ่งว่างดังกล่าว ซึ่งในการเปลี่ยนระดับพลังงานของอิเล็กตรอนจะมีการปลดปล่อยรังสีเอ็กซ์ทุติยญมิซึ่งปรากฏการณ์นี้เรียกว่า “ฟูอเรสเซนต์” พลังงานของรังสีเอ็กซ์ทุติยญมิที่ปลดปล่อยออกมาก็จะมีค่ารังสีเอ็กซ์ฟูอเรสเซนต์ที่เกิดขึ้นจะถูกส่งผ่าน collimator ในรูปลำรังสีขนาดไปยัง Diffracting Crystal ซึ่งมีค่าระยะห่างระหว่างระบบเลือกที่แน่นอน เช่น ค่าTheta , สเตียม-ฟูออิร์ต , ในกา ฯลฯ โดย Diffracting Crystal จะทำให้รังสีเอ็กซ์เกิดการเลี้ยวเบนเข้าสู่เครื่องตรวจวัดรังสีเอ็กซ์ (X-ray Detector) โดยปกติ Diffracting Crystal จะทำงานใน Theta กับระบบรังสีขนาดจาก Colimator และทำงาน 2Theta กับเครื่องตรวจวัด

2.4.2 Brunauer Paul Hugh Emmett and Edward Teller(BET)

บรูนาวร์, เอ็มเมทท์และเทลเลอร์ (Brunauer,Paul Hugh Emmett and Edward Teller) ได้ศึกษาการดูดซับกําชในโทรศัพท์ที่บันผิวน้ำและภัยในรูปrunของวัสดุ พบว่ากําชในโทรศัพท์ถูกดูดซับนั้นจะมีส่วนหนึ่งที่เคลือบบนผิวของวัสดุในลักษณะที่เป็นโน้มเลกุลซึ่งเดียวจนตื้นพื้นที่ผิว ก่อน จางนั้นกําชในโทรศัพท์ที่เหลือพร่องจะหายไปเคลือบบนผิวของวัสดุในลักษณะที่เป็นโน้มเลกุลหลายชั้น ซึ่งจากการศึกษาความสามารถเชิงแสดงความสัมพันธ์ระหว่างปริมาณของกําชที่ถูกดูดซับกับความดันสัมพัทธ์ของวัสดุที่เพิ่มขึ้น

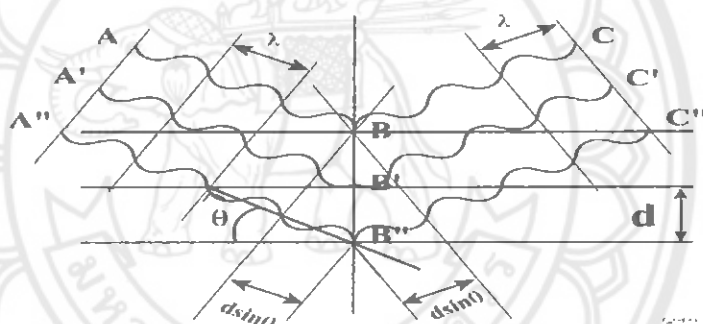
เป็นเครื่องที่ออกแบบมาเพื่องานวัดพื้นที่ผิวโดยเฉพาะเครื่องนี้เป็นเครื่องที่ทำการวัดโดยอัตโนมัติ การไล่กําชออกจากพื้นผิวตัวอย่างกระทำโดยการให้ความร้อนและ "ทำสูญญากาศ" ตัวเครื่องเองมีระบบตรวจสอบว่าการไล่กําชออกจากพื้นผิวเสร็จสมบูรณ์หรือยังด้วยการ "วัดความดัน" ซึ่งถ้าหากพื้นผิวยังมีกําชใดๆ ถูกซับเอาไว้อยู่ กําชที่คายออกมานะจะทำให้ความดันของระบบสูงกว่าสูญญากาศถ้าหากยังทำสูญญากาศไม่ได้ระดับที่เหมาะสม เครื่องก็จะยังไม่เริ่มการวิเคราะห์จะเริ่มวิเคราะห์ก็ต่อเมื่อทำสูญญากาศได้ระดับแล้วเท่านั้น ส่วนต้องใช้เวลาทำสูญญากาศหนึ่นานเท่าใดก็ขึ้นอยู่กับตัวอย่าง ตัวอย่างที่มีพื้นที่ผิวสูงอาจต้องใช้เวลาทำสูญญากาศอย่างน้อย 8-12 ชั่วโมง ในขณะที่ตัวอย่างที่มีพื้นที่ผิวต่ำอาจใช้เวลาทำสูญญากาศเพียงแค่ 2 ชั่วโมง

เมื่อทำสูญญากาศได้ที่แล้วก็จะเปลี่ยนจากการให้ความร้อนมาเป็นการหล่อเย็นด้วยในโทรศัพท์ (ตรงนี้ต้องทำการเปลี่ยนอุปกรณ์กันเองจากถุงให้ความร้อนมาเป็นถังในโทรศัพท์) เครื่องก็จะเริ่มฉีดกําชในโทรศัพท์ที่บันไปยังตัวอย่างตามปริมาตรที่กำหนดไว้ ซึ่งจะพบว่าตัวอย่างจะถูกดูดซับกําชในโทรศัพท์ไว้และจะบันทึกปริมาณกําชตัวอย่างถูกดูดซับเอาไว้ พอดูดซับเอาไว้จนอิ่มตัวก็จะทำการไล่กําชออก ดังนั้นในการวิเคราะห์จะมีข้อมูลในระหว่างการดูดซับ (adsorption) และการคายซับ (desorption) ปริมาตรกําชที่ถูกดูดซับหรือคายซับสามารถคำนวณได้โดยใช้ค่านวนพื้นที่ผิว และพุติกรรมการดูดซับและการคายซับที่ความดันต่าง ๆ กันจะถูกใช้คำนวณขนาดรูปrun ข้อมูลที่เครื่องวัดได้นั้นจะนำไปคำนวนพื้นที่ผิว

2.3.3 X-ray Diffractometer (XRD)

XRD เป็นเครื่องมือที่ใช้ในการวิเคราะห์สมบัติของวัสดุ โดยอาศัยหลักการเลี้ยวเบนของรังสีเอกซ์ โดยสามารถทำการวิเคราะห์ได้ทั้งสารประกอบที่มีอยู่ในสารตัวอย่างและนำมาใช้ศึกษารายละเอียดเกี่ยวกับโครงสร้างผลึกของสารตัวอย่างได้อีกด้วย ในผลลัพธ์ของตัวอย่างแต่ละชนิดจะมีขนาดของ Unit Cell ที่ไม่เท่ากัน ทำให้ Pattern ของการเลี้ยวเบนรังสีเอกซ์ที่ออกมากไม่เท่ากัน ทำให้เราสามารถหาความสัมพันธ์ของสารประกอบต่างๆ กับ Pattern การเลี้ยวเบนของรังสีเอกซ์ได้ซึ่งจะทำให้เราทราบว่าในตัวอย่างนั้น มีสารประกอบอะไรอยู่บ้าง

เครื่อง XRD เป็นเครื่องมือวิเคราะห์เลี้ยวเบนรังสีเอกซ์ในผลลัพธ์ของตัวอย่าง โดยอาศัยหลักการของ Bragg's Law หรือ $2d \sin \theta = n\lambda$ ในการคำนวณค่าการเลี้ยวเบนของรังสีเอกซ์ที่ยิงผ่านชั้นผลึกที่อยู่ในตัวอย่าง โดยจะใช้ Detector รับความเข้มของรังสีเอกซ์ ที่เกิดจากการเลี้ยวเบนในมุมต่างๆ ของการทดสอบโดยเครื่อง XRD เป็นเครื่องที่ติดตั้ง Detector ที่สามารถทำการทดสอบตัวอย่างได้รวดเร็วและให้ความแม่นยำในการวิเคราะห์ที่สูง



รูปที่ 2.4 หลักการทำงานของเครื่อง XRD

ข้อจำกัดของการวิเคราะห์ด้วยเทคนิค XRD ก็คือ ไม่สามารถทำการวิเคราะห์ตัวอย่างเพื่อหาปริมาณหรือหาองค์ประกอบตัวอย่างที่เป็น Amorphous ได้ เนื่องสารตัวอย่างกลุ่มนี้จะไม่เกิดการเลี้ยวเบนของรังสีเอกซ์ แต่เราอาจสามารถให้ XRD คำนวณหาปริมาณของส่วนที่เป็น Amorphous ในตัวอย่างว่ามีสัดส่วนกี่ % ได้ โดยใช้การเปรียบเทียบกับปริมาณของสารมาตรฐานที่ทราบค่าแน่นอน

2.3.4 Thermogravimetric Analysis(TGA)

TGA เป็นเทคนิคที่ใช้วิเคราะห์ความเสถียรของวัสดุโดยเฉพาะพอลิเมอร์เมื่อได้รับความร้อนโดยการวัดน้ำหนักของวัสดุที่เปลี่ยนแปลงในแต่ละช่วงอุณหภูมิตัวอย่างเครื่องซึ่งที่มีความไวสูง เทคนิคนี้เหมาะสมสำหรับการวิเคราะห์การเปลี่ยนแปลงสภาพของวัสดุที่เกี่ยวข้องกับการดูดซับก๊าซหรือระเหยของน้ำ การตกผลึก (Crystallization) อันเนื่องมาจากการเปลี่ยนเฟส การแตกตัวของวัสดุ

(Decomposition) ศึกษาการเกิดปฏิกิริยาออกซิเดชันและรีดักชันหรือปริมาณสารสัมพันธ์ (Stoichiometry)

ในการวิเคราะห์ตัวอย่าง ตัวอย่างจะถูกวางบนจานขนาดเล็กซึ่งเชื่อมต่อกับเครื่องชั่ง ละเอียดที่มีความไวต่อการเปลี่ยนแปลงสูง โดยที่ทั้งหมดจะอยู่ในเตาที่สามารถควบคุมอุณหภูมิและบรรยายกาศได้ บรรยายกาศภายในอาจจะเป็นก๊าซเฉื่อย เช่น ในไตรเจน หรือก๊าซที่มีความว่องไว เช่น ออกซิเจน โดยน้ำหนักของตัวอย่างที่เปลี่ยนแปลงจะเกิดขึ้นที่อุณหภูมิเฉพาะของสารแต่ละชนิด โดยน้ำหนักที่หายไปนั้นเกิดมาจากการระเหย, การย่อยสลาย หรือการเกิดปฏิกิริยาต่างๆ

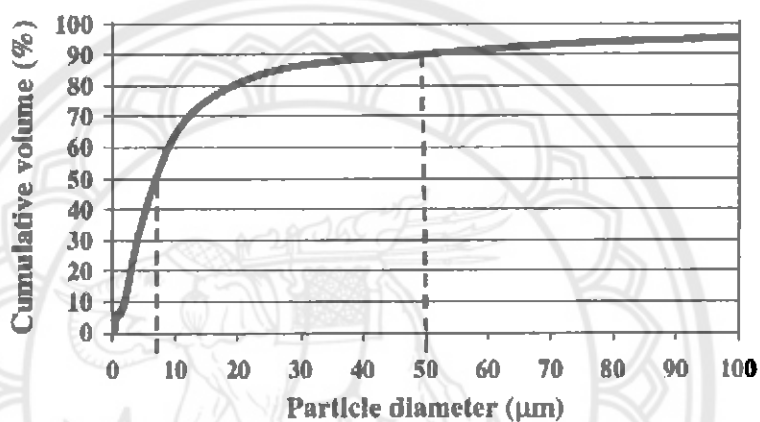
2.3.5 Differential Thermal Analysis(DTA)

DTA เป็นการวิเคราะห์การเปลี่ยนแปลงพลังงานความร้อนของวัสดุตัวอย่าง เปรียบเทียบกับอุณหภูมิที่มีการเพิ่มขึ้นเมื่อได้รับความร้อน โดยวินี้จะมีการเปลี่ยนแปลงพลังงานความร้อนระหว่างการเกิดปฏิกิริยาซึ่งสามารถแบ่งปฏิกิริยาได้เป็น 2 ประเภท คือ ปฏิกิริยา cavity พลังงานความร้อนออกม่าสู่ภายนอก (Exothermic reaction) และ ปฏิกิริยาดูดพลังงานความร้อนจากภายนอก (Endothermic reaction)

การทำงานของเครื่องมือนี้ คือ เครื่องวัดความแตกต่างของอุณหภูมิของสารตัวอย่างและสารเปรียบเทียบ โดยจะได้รับความร้อนเท่าๆกัน ถ้าอุณหภูมิของสารตัวอย่างเริ่มต่างไปจากอุณหภูมิของสารเปรียบเทียบ เครื่องก็จะจับการเปลี่ยนแปลงนี้ได้และสามารถเพิ่ม หรือ ลดปริมาณความร้อนที่ป้อนให้กับสารเปรียบเทียบ เพื่อควบคุมสารตัวอย่างและสารเปรียบเทียบให้มีความแตกต่างของอุณหภูมิเป็นศูนย์ (Null balance) ค่าปริมาณพลังงานไฟฟ้าต่อหน่วยเวลาที่เครื่องต้องจ่ายไฟฟ้าไปให้กับ Heating Element เพื่อรักษาสภาพให้ความแตกต่างของอุณหภูมิเป็นศูนย์นั้นเป็นสัดส่วนโดยตรงกับปริมาณความร้อนที่ตัวอย่างปล่อยออกต่อหน่วยเวลา ถ้าเครื่องต้องจ่ายไฟฟ้าให้กับสารตัวอย่างเป็นปฏิกิริยาดูดพลังงานความร้อนจากภายนอก ส่วนถ้าเครื่องต้องจ่ายไฟฟ้าให้กับสารเปรียบเทียบนั้นเป็นปฏิกิริยา cavity พลังงานความร้อนออกม่าสู่ภายนอก

2.5 วรรณกรรมที่เกี่ยวข้อง

V. Corinaldesi *et al.* [9] ศึกษาคุณสมบัติของผุ้นทินอ่อนเพื่อประยุกต์ใช้เป็นวัสดุผสมเพิ่มในคอนกรีตรูปที่ 3 แสดงการกระจายขนาดอนุภาค (Particle size distribution) ของผุ้นจากอุตสาหกรรมทินอ่อน สังเกตได้ว่าผุ้นทินอ่อนมีขนาดอนุภาคเฉลี่ยประมาณ 7 ไมโครเมตร ($d_{50} = 7 \mu\text{m}$) และร้อยละ 90 ของผุ้นทินอ่อนมีขนาดอนุภาคเล็กกว่า 50 ไมโครเมตร ($d_{90} = 50 \mu\text{m}$) ตารางที่ 2.5 แสดงสมบัติทางเคมีและฟิสิกส์ของซีเมนต์ (PC) และผุ้นทินอ่อน (MDW) เนื่องจากมีพิจารณาองค์ประกอบทางเคมีพบว่าผุ้นทินอ่อนประกอบด้วย CaO เป็นองค์ประกอบหลักและมีพื้นที่ผิวจำเพาะ (Specific surface area) ใกล้เคียงกับซีเมนต์



รูปที่ 2.5 การกระจายขนาดอนุภาคของผุ้นทินอ่อนมีวิเคราะห์ด้วยวิธี Laser diffraction [9]

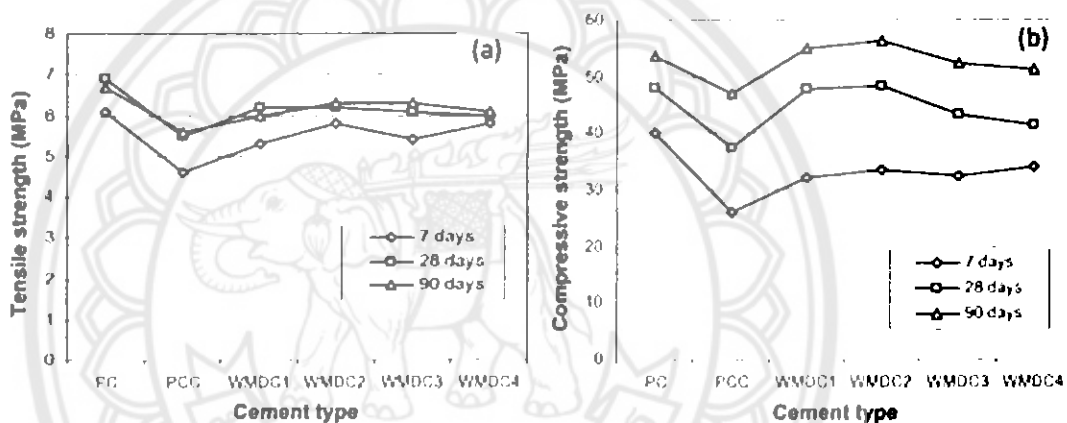
ตารางที่ 2.5 สมบัติทางเคมีและพิสิกส์ของซีเม็นต์ปอร์ตแลนด์ (PC) และผุ้นทินอ่อน (MDW) [9]

Oxide (%)	PC	WMD
CaO	61.39	54.43
SiO ₂	19.55	0.67
Al ₂ O ₃	4.82	0.12
Fe ₂ O ₃	3.52	0.08
MgO	1.83	0.59
SO ₃	2.76	-
K ₂ O	0.74	-
Na ₂ O	0.14	0.14
Loss on ignition	2.18	43.4
Insoluble residue	0.38	-
Physical and mechanical properties		
Specific gravity (g/cm ³)	3.1	2.6
Specific surface (Blaine) (cm ² /g)	3,238	3,097
Initial setting time (min.)	140	-
Final setting time (min.)	240	-
Soundness (mm.)	2	-
Compressive strength (MPa)		
days	41.1	-
28 days	48.8	-

เมื่อนำผุ้นทินอ่อนมาผสมกับซีเม็นต์ในอัตราส่วนต่างๆของมอร์tar (ตารางที่ 2.6) พบว่า tensile strength ของตัวอย่างที่มีการผสมผุ้นทินอ่อนและทำการบ่มที่ระยะเวลา 7 วันมีค่าต่ำกว่า tensile strength ของตัวอย่างที่ใช้ PC เป็นวัสดุเชื่อมประสาน (รูปที่ 2.6 (a)) โดย tensile strength ของ WMDC1, WMDC2, WMDC3 และ WMDC4 มีค่าต่ำกว่าตัวอย่าง PC 13%, 5%, 11% and 5% ตามลำดับ เมื่อพิจารณา compressive strength (รูปที่ 2.6 (b)) พบว่าตัวอย่างที่มีการผสมผุ้นทินอ่อนและทำการบ่มที่ระยะเวลา 7 วันมีค่าต่ำกว่า compressive strength ของตัวอย่างที่ใช้ PC เช่นกัน อย่างไรก็ตามเมื่อระยะเวลาในการบ่มตัวอย่างเพิ่มขึ้นเป็น 90 วัน พบว่า compressive strength ของตัวอย่าง WMDC1 and WMDC2 สูงกว่าตัวอย่าง PC 2% และ 5% ตามลำดับ ในขณะที่ compressive strength ของตัวอย่าง WMDC3 and WMDC4 มีค่าต่ำกว่าตัวอย่าง PC 3% และ 4%

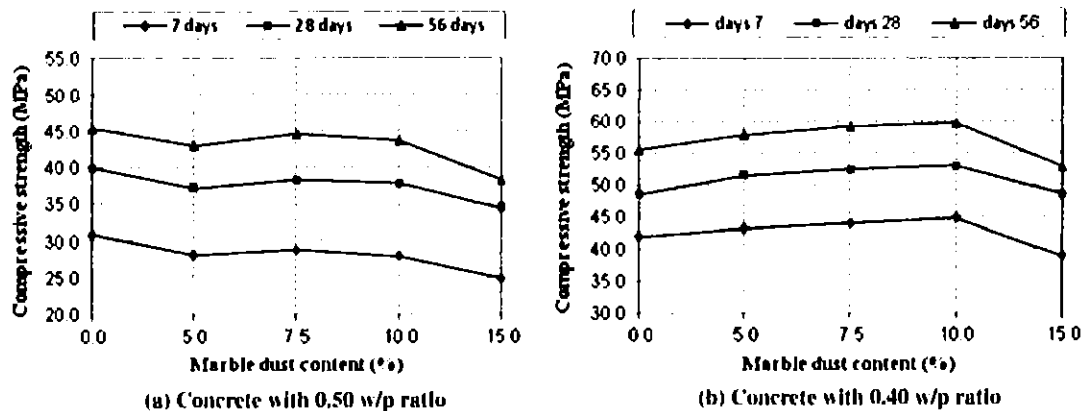
Cement type	PC clinker (%)	WMD (%)	Gypsum (%)	Total (%)
WMDC1	92.5	2.5	5	100
WMDC2	90.0	5.0	5	100
WMDC3	87.5	7.5	5	100
WMDC4	85.0	10	5	100
PC	EN 197-1 CEM I			

ตารางที่ 2.6 อัตราส่วนผสมซีเมนต์-ผุนหินอ่อน-ยิปซัม เพื่อศึกษาคุณสมบัติคอนกรีต [9]



รูปที่ 2.6 รูปแสดงการเปรียบเทียบความสามารถในการรับแรงของตัวอย่างมอร์ตาร์ที่ผสมผุนหินอ่อนในสัดส่วนต่างๆ (a) tensile strength และ (b) compressive strength [9]

รูปที่ 2.7 แสดงผลการทดสอบ compressive strength ของคอนกรีตที่ผสมผุนหินอ่อน แทนที่ซีเมนต์ที่อัตราส่วน 0%, 5.0%, 7.5%, 10.0% และ 15.0% โดยใช้ $w/p = 0.5$ พนวณการใช้ผุนหินอ่อนแทนที่ซีเมนต์ส่งผลให้ compressive strength ของคอนกรีตลดลงเล็กน้อย โดย compressive strength ที่บ่มที่ระยะเวลา 28 วัน ลดลง 7%, 4%, 5% และ 14% สำหรับตัวอย่างที่ใช้ผุนหินอ่อนแทนที่ซีเมนต์ 5.0%, 7.5%, 10.0% และ 15.0% ตามลำดับ อย่างไรก็ตาม เมื่อปรับอัตราส่วน w/p เป็น $w/p = 0.4$ พนวณ compressive strength ของคอนกรีตมีแนวโน้มเพิ่มสูงขึ้น และสูงที่สุดเมื่อการใช้ผุนหินอ่อนแทนที่ซีเมนต์ 10% โดยพนวณ compressive strength ที่ 287 วันของตัวอย่างคอนกรีตที่แทนที่ผุนหินอ่อน 10% สูงกว่าตัวอย่างคอนกรีตที่ใช้ซีเมนต์ล้วนถึง 9% และเมื่อแทนที่ซีเมนต์ด้วยผุนหินอ่อนมากกว่า 10% จะส่งผลให้ compressive strength ของคอนกรีตลดลง



รูปที่ 2.7 Compressive strength ของคอนกรีตที่ผสมผุนพันธ์อ่อนที่อัตราส่วนต่างๆ [9]

บทที่ 3

วิธีการทดลอง

ในบทนี้จะกล่าวถึงอุปกรณ์ที่ใช้ในการทดลอง, วัสดุที่ใช้ในการทดลอง, ขั้นตอนการเตรียมวัสดุที่ใช้ในการทดลอง, วิธีการและขั้นตอนการทดลองซึ่งเป็นส่วนสำคัญที่สุดในโครงการวิจัยนี้ โดยก่อนที่จะทำการทดลองจะต้องมีการเตรียมการเกี่ยวกับวัสดุอุปกรณ์ที่ใช้ในการทดลอง เพื่อความรวดเร็วและช่วยให้การดำเนินงานในการทำโครงการวิจัยเป็นไปตามแผนที่วางไว้ อีกทั้งการเตรียมวัสดุอุปกรณ์ที่ดีและการทำการทดลองที่เป็นขั้นตอนย่อમจะทำให้ผลการทดลองที่ได้มีประสิทธิภาพตามจุดประสงค์ที่วางไว้

3.1 อุปกรณ์ที่ใช้ในการทดลอง

3.1.1 เครื่องซั่งทวนนิยม 4 ตำแหน่ง

3.1.2 ถุงอะลูมิเนียม

3.1.3 ตู้อบ

3.1.4 เตาเผาอุณหภูมิสูง

3.1.5 ตะแกรงมาตรฐาน เบอร์ 40

3.1.6 ตะแกรงมาตรฐาน เบอร์ 200

3.1.7 บีกเกอร์ ขนาด 100 และ 500 ml

3.1.8 ข้อมูลสารเคมี

3.1.8 กระป๋อง Ball ขนาด 500 ml

3.1.9 Hot Plate

3.2.10 อะลูมิเนียมฟรอยด์

3.1.11 อุปกรณ์ นำตัวอย่างออกจากเตาเผา

3.1.12 ชุดกันความร้อน

3.1.13 พัดลม

3.1.14 crucible

3.1.15 อิฐทนไฟ

3.1.16 เครื่อง Ball milling

3.2 วัสดุที่ใช้ในการทดลอง

3.2.1 ผุนหินอ่อน

3.2.2 ผุนศีลามแลง

3.2.3 ดินขาว

3.2.4 Ethanal 99%

3.2.5 น้ำกลั่น

3.3 การเตรียมวัสดุ

3.3.1 นำวัตถุดิบที่จะมาสังเคราะห์เข็น ผุนหินอ่อน, ผุนศีลามแลง และดินขาว มาร่อนผ่านตะแกรงเบอร์ 40 เพื่อขัดเศษสิ่งเจือปนขนาดใหญ่(เศษไม้ หิน ตะกอน)

3.3.2 นำวัตถุดิบที่ร่อนผ่านตะแกรงเสร็จแล้วนำไปปอกเพื่อลดความความชื้นออกจากวัตถุดิบ

3.3.3 หลังจากที่ปอกได้ความชื้นออกเสร็จแล้วนำไปบดให้เป็นผงละเอียด จากนั้นนำไปร่อนผ่านตะแกรงเบอร์ 200

3.3.4 นำไปปอกเพื่อลดความชื้นอีกครั้งใช้อะลูมิเนียมฟรอยด์ ปิดปากภาชนะป้องกันสิ่งสกปรกตกใส่ เจาะรูเพื่อให้ความชื้นระบายออก

3.3.5 หลังจากปอกได้ความชื้นเสร็จจะต้องนำมาซึ่งทันที เพื่อป้องกันสารโคนความชื้นการซึ่งไม่ควรเกิน 5 นาทีหลังจากการอบ เพื่อห้องกันน้ำหนักที่คลาดเคลื่อน

3.4 วิธีการทดลอง

3.4.1 ซึ่งวัตถุดิบที่เตรียมไว้ตามอัตราส่วนที่เหมาะสม

3.4.2 นำวัตถุดิบทั้ง 3 ที่ซึ่งแล้วมาผสมให้เข้ากันโดยวิธี Ball Milling ผสมสาร 100 กรัม กับ Ethanal 99% และเม็ด Alumina

3.4.3 ใส่วัตถุดิบห้อง 3 ใส่ กระปองBall ใส่มีด Alumina 3/4 ของกระปองBall และเติม Ethanal 99% ให้ถึง 3/4 ของกระปอง เช่นกันหลังจากใส่มีด Alumina แล้ว (ถ่วงเม็ดAlumina)

3.4.4 นำกระปองBall ที่ทำการผสมแล้ว ใส่เครื่องBall milling โดยให้เครื่องทำงาน 4 ชั่วโมง พัก 1 ชั่วโมง รวมเป็นเวลา 24 ชั่วโมง

3.4.5 เดินเครื่องครน 24 ชั่วโมงแล้ว ให้น้ำสารตัวอ่อนย่าง(RAW)ที่ผสมเข้ากันแล้วเทใส่บีกเกอร์ขนาด 500 ml โดยใช้ตะแกรงกรองมีดAlumina ไว้

3.4.6 ทำให้แห้ง(Dried)โดยการใช้ Hot Plate ทำให้แห้ง อุณหภูมิประมาณ 150-200 °C ระหว่างอย่าให้ร้อนเกินไปปีกเกอร์จะแตก ให้คนสารไปเรื่อยๆจน Ethanal ระเหยเกือบหมด ให้แห้งพอหมวดแล้วทิ้งไว้ได้เย็น

3.4.7 หลังจากเย็บแล้วนำปั้นเม็ด เป็นก้อนกลมขนาดศูนย์กลางประมาณ 0.5-1 cm หากปั้นไม่ได้ให้เติมน้ำก้อนลับลงไปพอให้ปั้นเม็ดได้

3.4.8 หลังจากปั้นเม็ดใส่ถาดแล้วทิ้งไว้ให้แห้ง 1 วันในเตาอบอุณหภูมิ 110°C โดยใช้อะลูมิเนียมฟรอยด์เจาะรูเล็กๆ ระยะความชื้นปิดปากภาชนะไว้

3.4.9 นำเม็ดตัวอย่าง(RAW)ไปเผาที่อุณหภูมิ 1200 , 1250 , 1300 , 1350 , 1400 และ 1450°C ตามลำดับ โดยเผาแต่ละครั้งทิ้งไว้เป็นเวลาหนึ่ง ชั่วโมง ใช้ (Rate 10 °C/min)

3.4.10 หลังจากเผาทิ้งไว้เป็นเวลา 1 ชั่วโมงแล้ว ให้นำตัวอย่างออกที่อุณหภูมิ 1300°C หากอุณหภูมิที่ต่ำกว่า 1300°C ให้ออกหันที่

3.4.11 ทำให้เย็นอย่างรวดเร็ว โดยการใช้พัดลมเป่า

บทที่ 4

ผลการทดสอบและวิเคราะห์

4.1 การวิเคราะห์ทางเคมีและการภาพของวัสดุ

องค์ประกอบทางเคมีของวัสดุซึ่งประกอบด้วยผุนหินอ่อน (MD) , กากดินขาว(Kao) และ ผุนศิลาแลง(LS) จากตารางที่ 4.1 การทดสอบยิงรังสี XRF พบว่า ผุนหินอ่อน มีปริมาณ CaO บริสุทธิ์มากถึง 98% จึงใช้เป็นวัตถุดิบทำแทนปูนขาว(Lime component) ส่วนของหินดินดาน ซึ่งต้องการ SiO₂ ก็จะได้จาก ดินขาว มี 72% และ Fe₂O₃ ได้จาก ผุนศิลาแลงมี 43% ส่วน Al₂O₃ หักดินขาวและผุนศิลาแลงมีมากเพียงพอแล้ว จึงนำวัสดุทั้ง 3 ดังกล่าวมาเป็นวัสดุตั้งต้นในการสังเคราะห์ซีเมเนต์

ตารางที่ 4.1 ผลองค์ประกอบทางเคมีของวัสดุ

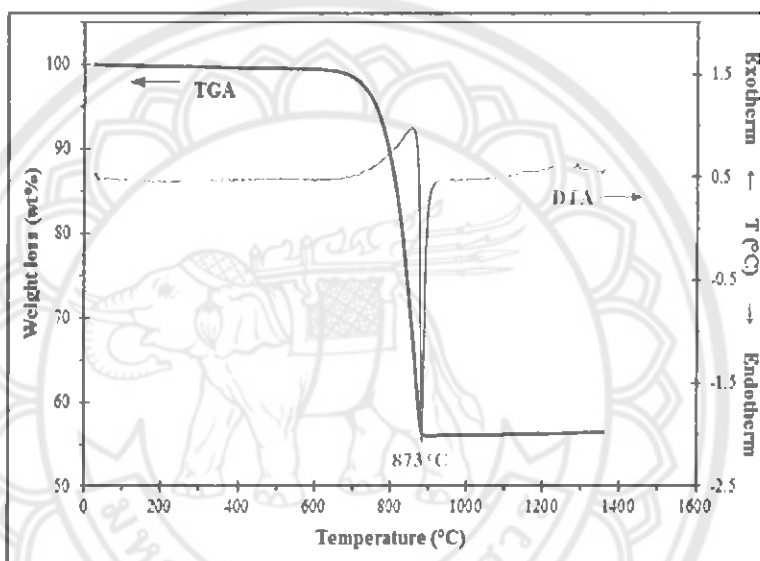
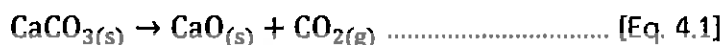
องค์ประกอบทางเคมี(%)	ผุนหินอ่อน	ดินขาว	ผุนศิลาแลง
CaO	98.57	-	0.08
SiO ₂	0.87	72	33.77
Al ₂ O ₃	-	18.4	20.83
Fe ₂ O ₃	-	2.7	43.2
CaCO ₃	-	-	-
MnO	-	0.05	-
TiO ₂	-	0.26	1
K ₂ O	0.31	5.35	0.38
SO ₃	0.25	0.33	0.19
MgO	-	0.95	-

*ทดสอบโดยวิธี XRF

4.2 ปฏิกิริยาเคมีของวัสดุ

4.2.1 ผุนพินอ่อน

เส้นโค้ง TGA-DTA ใน การตรวจสอบปฏิกิริยาทางเคมีของผุนพินอ่อนที่แสดงในรูปที่ 4.5 การสูญเสียน้ำหนักที่เกิดขึ้นจากประมาณ 600 °C - 900 °C ซึ่งสอดคล้องกับจุดดูดความร้อนสูงสุดที่ 873 °C ในโค้ง DTA และ TGA มีค่าลดลงถึง 43.1% และหลังจากน้ำหนักเริ่มเปลี่ยนแปลงไม่นาน จนไม่เป็นไปตามเดิม ข้อมูลเหล่านี้เกี่ยวข้องกับการสังเกตปฏิกิริยาเมื่อแคลเซียมคาร์บอนेट (CaCO_3) ลายตัวเกิดเป็น lime (CaO) และคาร์บอนไดออกไซด์ตามที่แสดงใน Eq. 4.1



รูปที่ 4.1 TGA-DTA curves ของผุนพินอ่อน

จากปฏิกิริยาดังกล่าว จึงได้ค่า น้ำหนักที่สูญเสียจากการเผา (Loss on Ignition:LOI) ของผุนพินอ่อน 43.1%

4.2.2 ดินขาว

ทำการทดสอบหาค่า LOI โดยวิธีการเผาที่อุณหภูมิ 1000 องศา เป็นเวลา 1 ชั่วโมง ผลที่ได้น้ำหนักก่อนเผา 1.0018 กรัม

น้ำหนักหลังเผา 0.9696 กรัม

$$\begin{aligned} \text{LOI} &= \frac{1.0018 - 0.9696}{1.0018} \times 100 \\ &= 3.214 \% \end{aligned}$$

ดังนั้น ดินขาว(KaO) มีค่า LOI = 3.21%

4.3 การวิเคราะห์สัดส่วนทางเคมีที่ใช้ในการเผา

จากผลทดสอบทางเคมีของวัสดุตั้งต้นและปฏิกิริยาทางเคมี หากค่าเบอร์เซ็นต์ของออกไซด์หลักและออกไซด์รอง เพื่อเทียบกับปูนซีเมนต์ปอร์ตแลนด์ทั่วไป

ตารางที่ 4.2 คำนวณอัตราส่วนการเผา

ออกไซด์	ผุ่นทินอ่อน	ดินขาว	ผุ่นศิลาแลง	น้ำหนักหลังเผา(STOCK)	*STOCK (%)	ออกไซด์ที่คำนึง
LOI(%)	43.1	3.21	0			
CaO	98.57	-	0.08	41.51	61.53	60-68
SiO ₂	0.87	72	33.77	15.97	23.67	1-26
Al ₂ O ₃	-	18.4	20.83	4.84	7.18	3-9
Fe ₂ O ₃	-	2.7	43.2	3.52	5.22	0.6-7
CaCO ₃	-	-	-	0.00	0.00	
MnO	-	0.05	-	0.01	0.01	
TiO ₂	-	0.26	1	0.12	0.17	0.1-0.5
K ₂ O	0.31	5.35	0.38	1.14	1.69	
SO ₃	0.25	0.33	0.19	0.12	0.27	1-4
MgO	-	0.95	-	0.17	0.26	
				67.46	100.00	
**Trail (%)	74	19	7			

*STORK = อัตราส่วนร้อยละน้ำหนักที่เหลือหลังจากการเผา

** Trail = ค่าสัดส่วนที่ใช้ซึ่งก่อนเผา

4.3.1 วิธีคิดอัตราส่วน

สมมติอัตราส่วน(Tail) ที่ใช้ในการเผาเป็น 100 กรัม โดยแบ่งให้อัตราส่วนของวัสดุตั้งต้นทั้ง 3 คิดน้ำหนักของออกไซด์ที่มีในวัสดุ และคิดหักค่าสูญเสียน้ำหนักหลังจากการเผาจะได้น้ำหนักหลังจากการเผาของออกไซด์แต่ละตัว

$$\text{น้ำหนักหลังจากการเผา(STOCK)} = \sum(g \times \frac{\% \text{ ผลกระทบจากสารที่} i}{100} \times \frac{100 - LOI}{100})$$

$$\text{STOCK(%) } = \frac{\text{น้ำหนักหลังจากการเผาของออกไซด์แต่ละตัว}}{\text{ผลรวมน้ำหนักหลังจากการเผาของออกไซด์ทั้งหมด}} \times 100$$

ตัวอย่างการคำนวณ

STORK(%) ของ CaO จากตาราง 4.3

น้ำหนักหลังจากการเผา CaO

สมมติให้

วัสดุ	ผุ้นทินอ่อน(MD)	ตินขาว(KaO)	ผุ้นศิลาแลง(LS)
น้ำหนัก(g)	74	19	7

$$\text{น้ำหนักหลังจากการเผา} = \left(74 \times \frac{98.57}{100} \times \frac{100-43.1}{100} \right) + \left(19 \times \frac{0}{100} \times \frac{100-3.21}{100} \right) + \\ \left(7 \times \frac{0.08}{100} \times \frac{100-0}{100} \right) \\ = 41.51 \text{ กรัม}$$

$$\text{STOCK(%)} = \frac{41.51}{67.46} \times 100 \\ = 61.53 \%$$

อัตราส่วนดังกล่าวจะได้ CaO = 61.53%

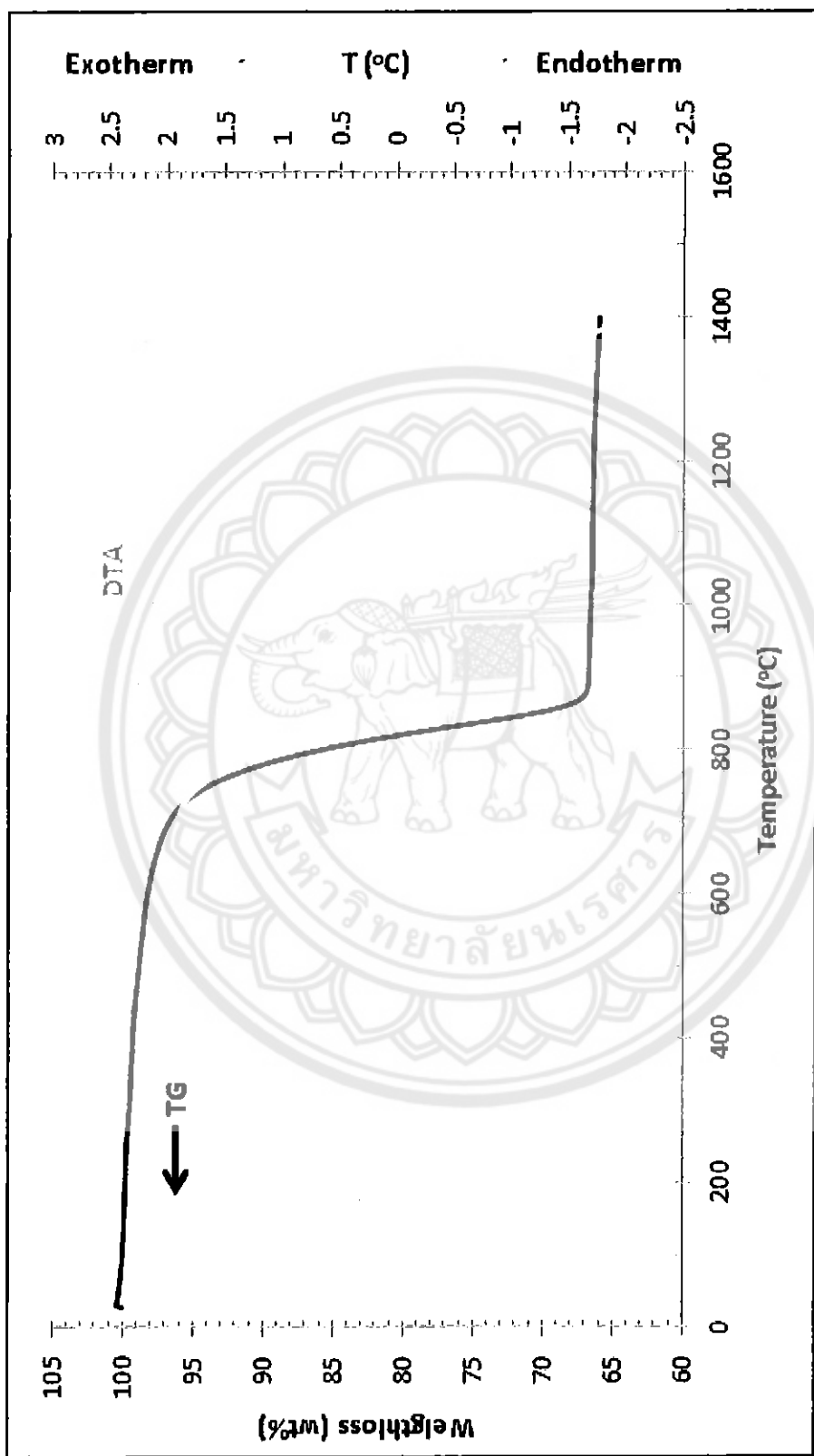
4.4 ผลการทดลอง

จากการเผาด้วยสัดส่วน MD:KaO:LS = 74:19:7 ที่อุณหภูมิ 1200 ,1250 ,1300 ,1350 ,1400 และ 1450 องศาเซลเซียส เป็นเวลา 1 ชั่วโมงได้ทดสอบคุณสมบัติทางกายภาพและเคมี และ วิเคราะห์ได้ว่า จากผล XRF ตารางที่ 4.3 พบว่าอกไซด์ที่ได้หลังจากการเผา ยังมีค่าไม่ใกล้เคียงกับ ซีเมนต์ปอร์ทแลนด์ทั่วไป และจากการเปรียบเทียบการยิงรังสีเอกซ์ XRD ดังรูปที่ 4.3 พบว่า มีการ เกิดปฏิกิริยาทำให้ เพิ่มขึ้นของ calcium silicate hydrate แต่ไม่สามารถจำแนกชนิดได้

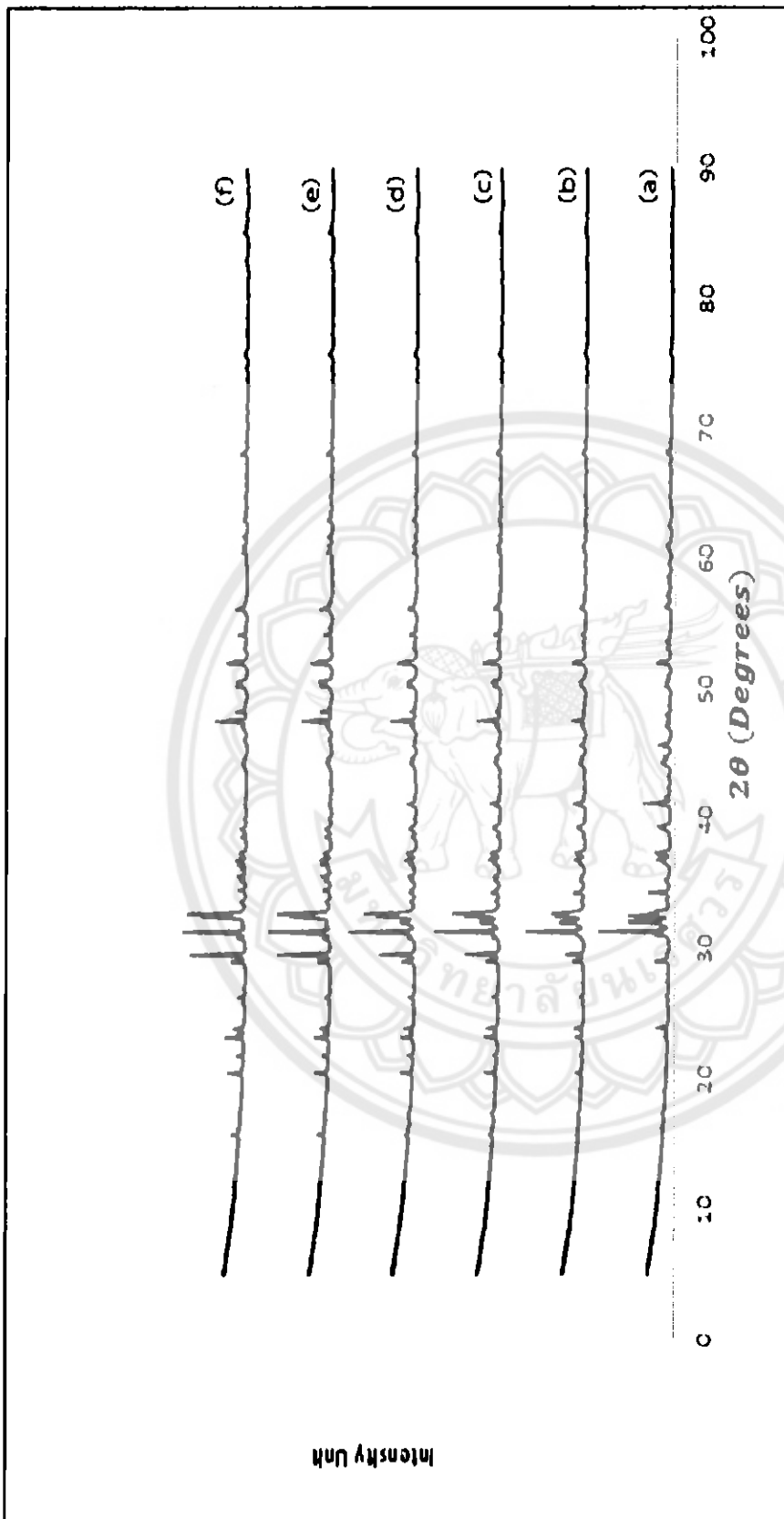
ตารางที่ 4.3 ผลวิเคราะห์เคมีจากการยิงรังสี XRF

Oxide (%)	Portland cement	CMD 1200	CMD 1250	CMD 1300	CMD 1350	CMD 1400	CMD 1450	ออกไซด์ที่กำหนด
CaO	61.39	57.43	56.55	57.14	58.00	57.16	57.55	60-67
SiO ₂	19.55	25.12	26.62	26.26	25.74	26.17	25.73	1-25
Al ₂ O ₃	4.82	11.36	11.02	10.84	10.60	11.12	10.98	3-8
Fe ₂ O ₃	3.52	4.88	4.63	4.71	4.82	4.75	4.96	0.5-6
MgO	1.83	-	-	-	-	-	-	0.1-5.5
SO ₃	2.76	-	-	-	-	-	-	1-3
K ₂ O	0.74	0.10	0.98	0.87	0.66	0.61	0.54	-
Na ₂ O	0.14	-	-	-	-	-	-	-

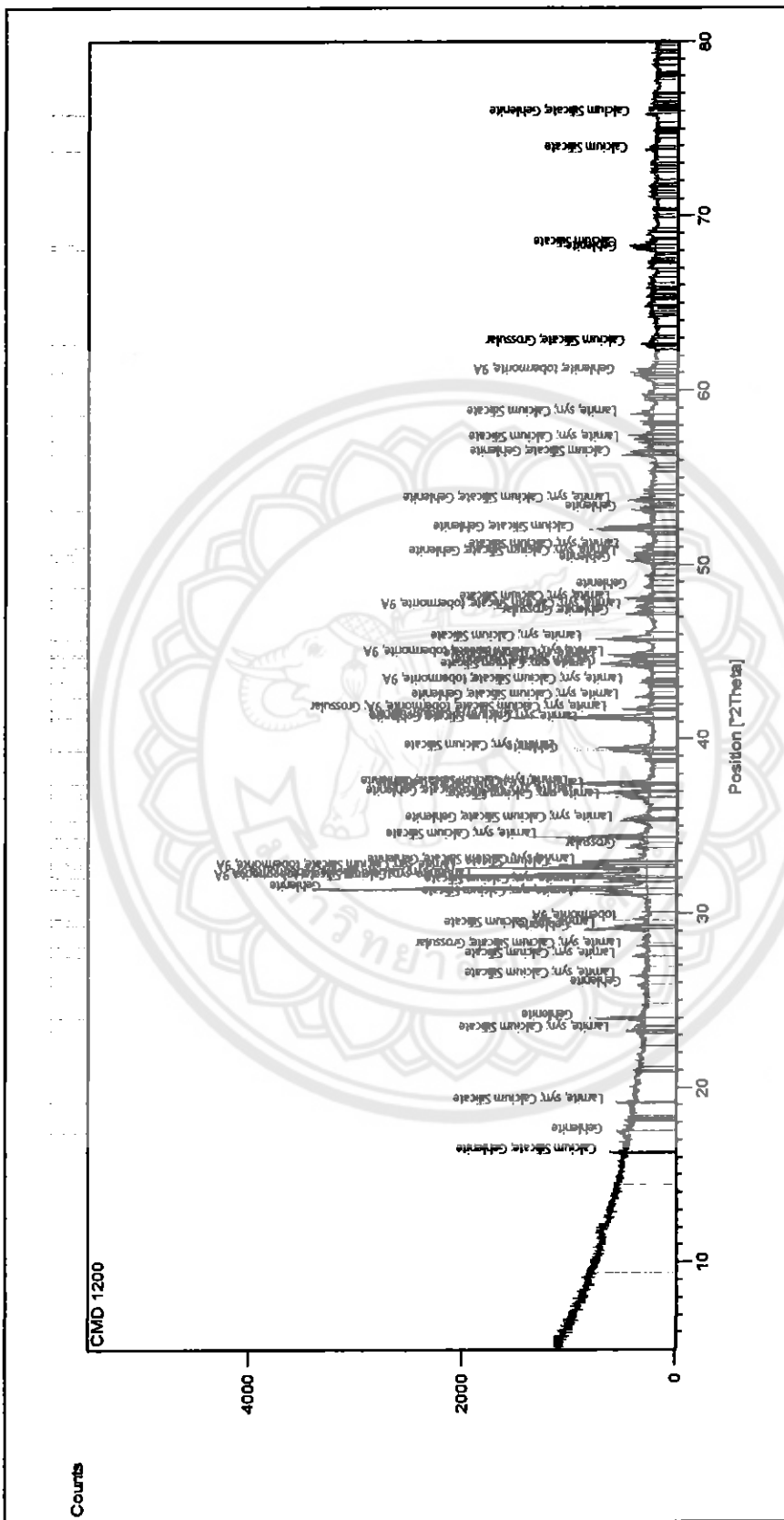
*“ - ” หมายถึง ไม่มีหรือมีน้อยมากจนวัดค่าไม่ได้



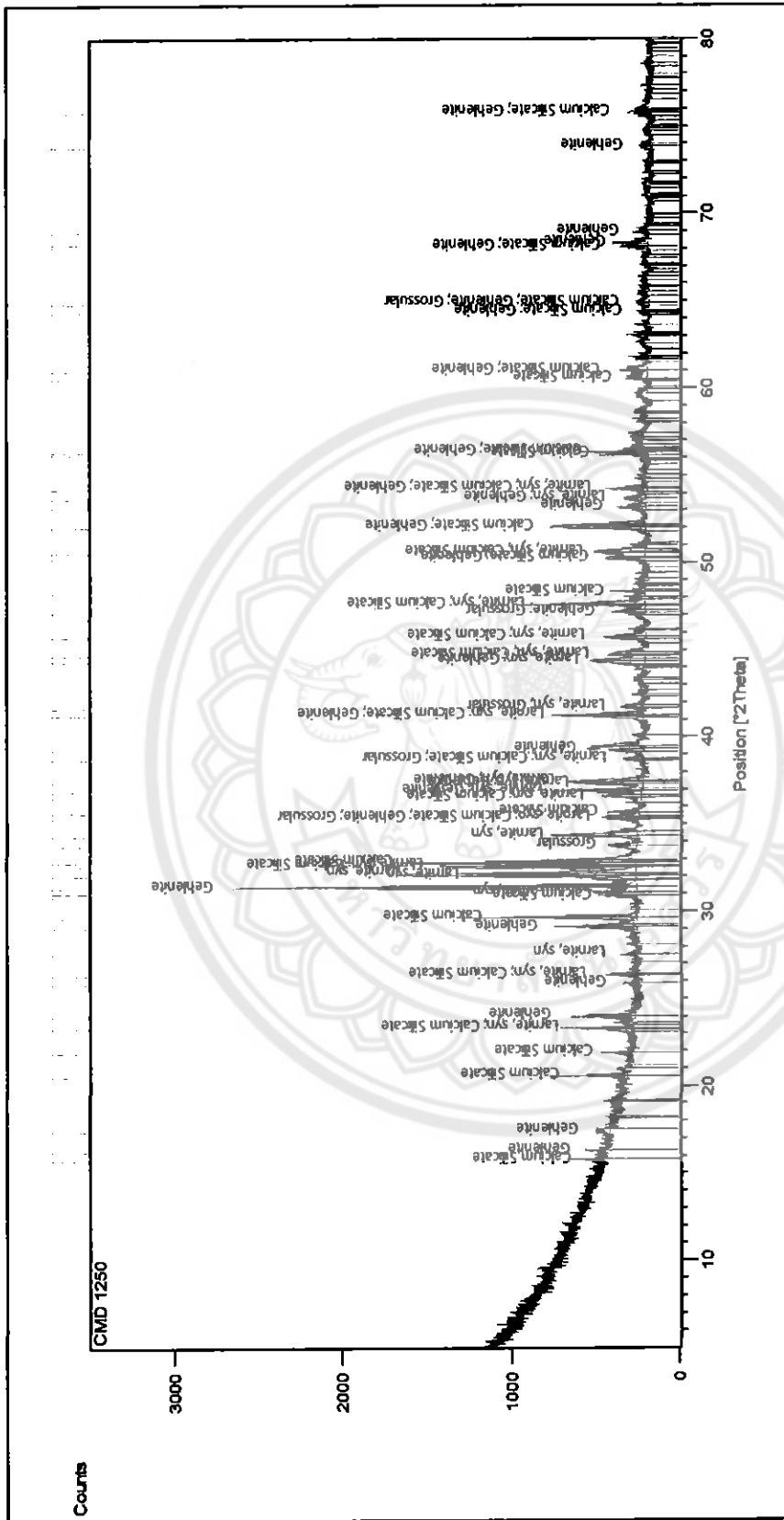
รูปที่ 4.2 กราฟ TG-DTA ของซีเมนต์ผู้บินกินอ่อน



รูปที่ 4.3 กราฟรูปแบบของการเลี้ยวของรังสีเอกซ์ของ (a) ชิมันต์ผุนพันอ่อนเนื้าหุ่นหกมี 1200 องศาเซลเซียสเป็นเวลา 1 ชั่วโมง (b) ชิมันต์ผุนพันอ่อนเนื้าหุ่นหกมี 1250 องศาเซลเซียส เป็นเวลา 1 ชั่วโมง (c) ชิมันต์ผุนพันอ่อนเนื้าหุ่นหกมี 1300 องศาเซลเซียส เป็นเวลา 1 ชั่วโมง (d) ชิมันต์ผุนพันอ่อนเนื้าหุ่นหกมี 1350 องศาเซลเซียส เป็นเวลา 1 ชั่วโมง (e) ชิมันต์ผุนพันอ่อนเนื้าหุ่นหกมี 1400 องศาเซลเซียส เป็นเวลา 1 ชั่วโมงและ (f) ชิมันต์ผุนพันอ่อนเนื้าหุ่นหกมี 1450 องศาเซลเซียส

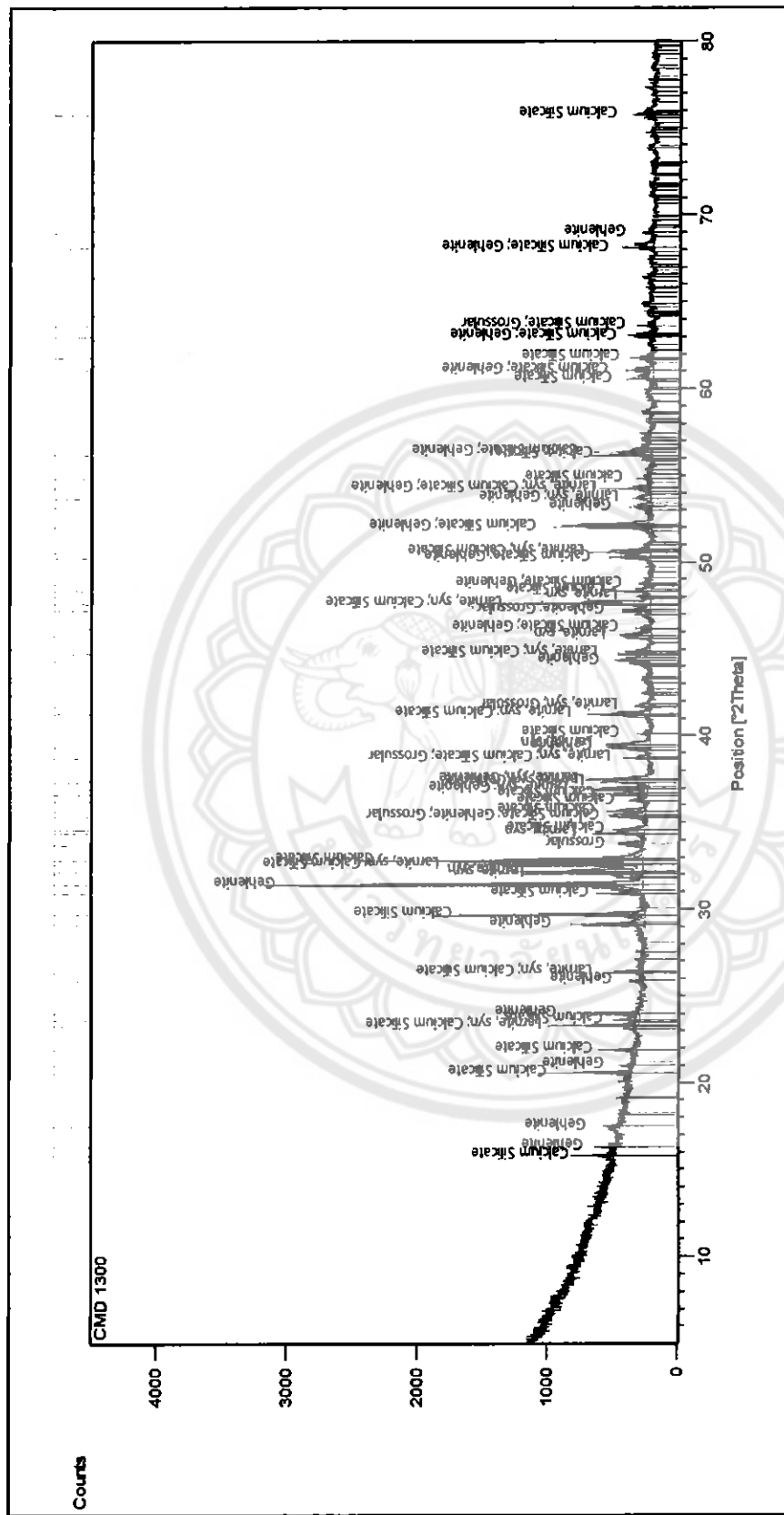


รูปที่ 4.4 กราฟ XRD และวิเคราะห์รากฐาน ซึ่งเป็นตัวบ่งชี้ของผลิตภัณฑ์



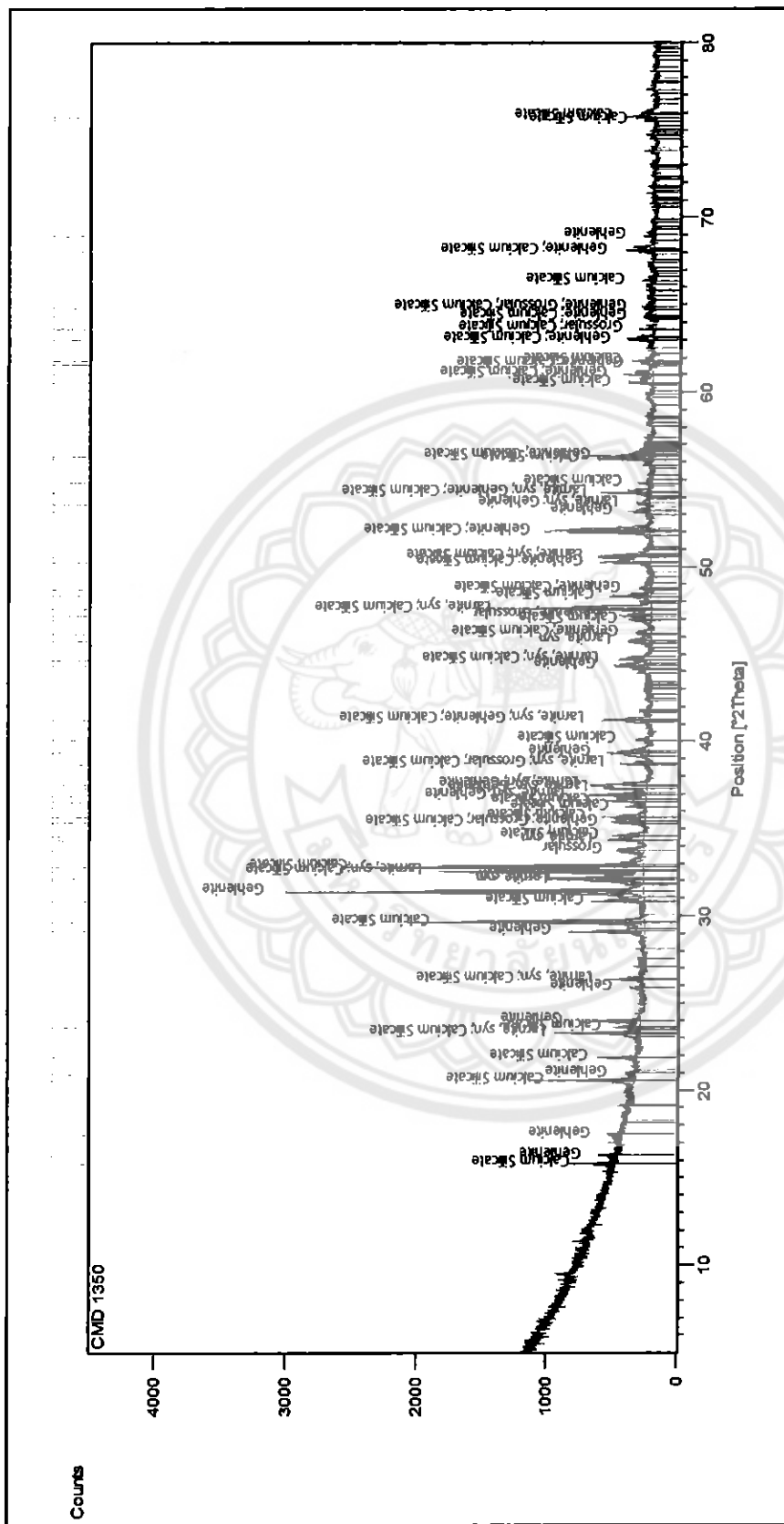
รูปที่ 4.5 กราฟ XRD และวิเคราะห์ร้าตรุ่น ซึ่มเน้นพื้นที่อ่อนแอท่อญหุ่น

1250 องค์กรตัวตื้บสี



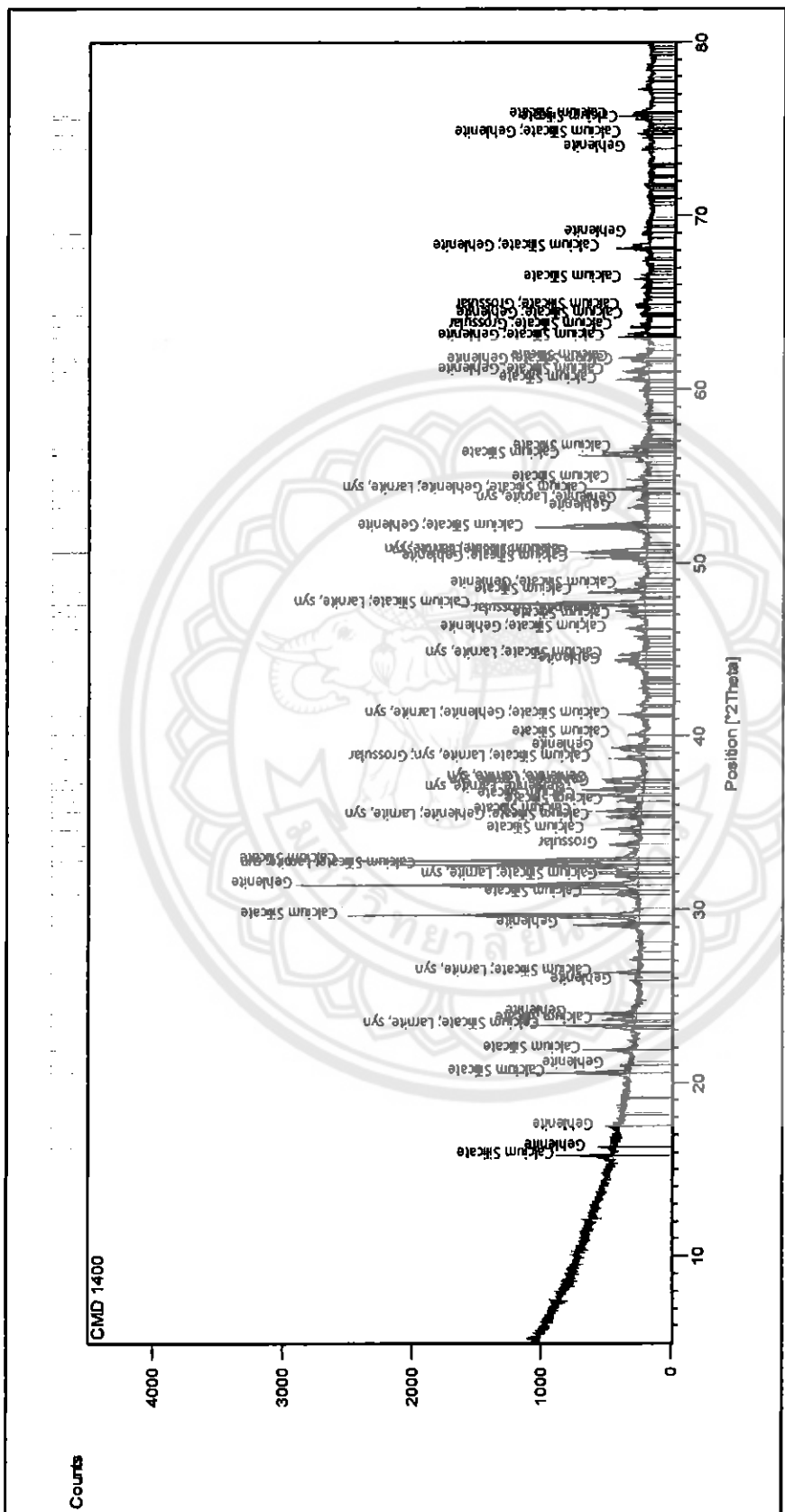
รูปที่ 4.6 กราฟ XRD และวิเคราะห์ธาตุของ ซีเมนต์ผุนหินอ่อนมาตราอุ่นภูมิ

1300 องศาเซลเซียส

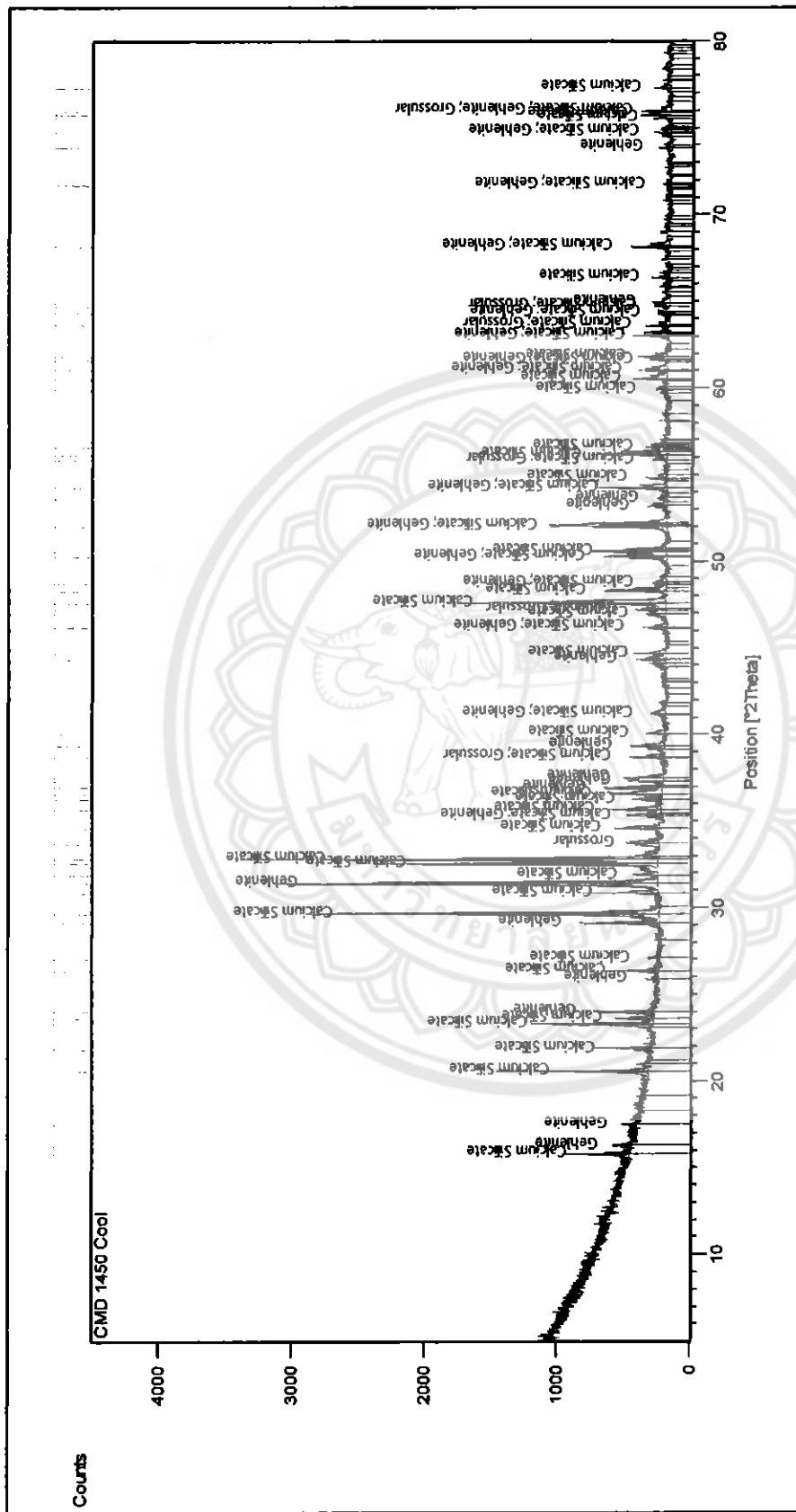


รูปที่ 4.7 กราฟ XRD และวิเคราะห์รัตตุของ ซีเมนต์บุนพันอ่อนแข็ง

1350 ວົງສາເໜດໄຕເສຍລັກ

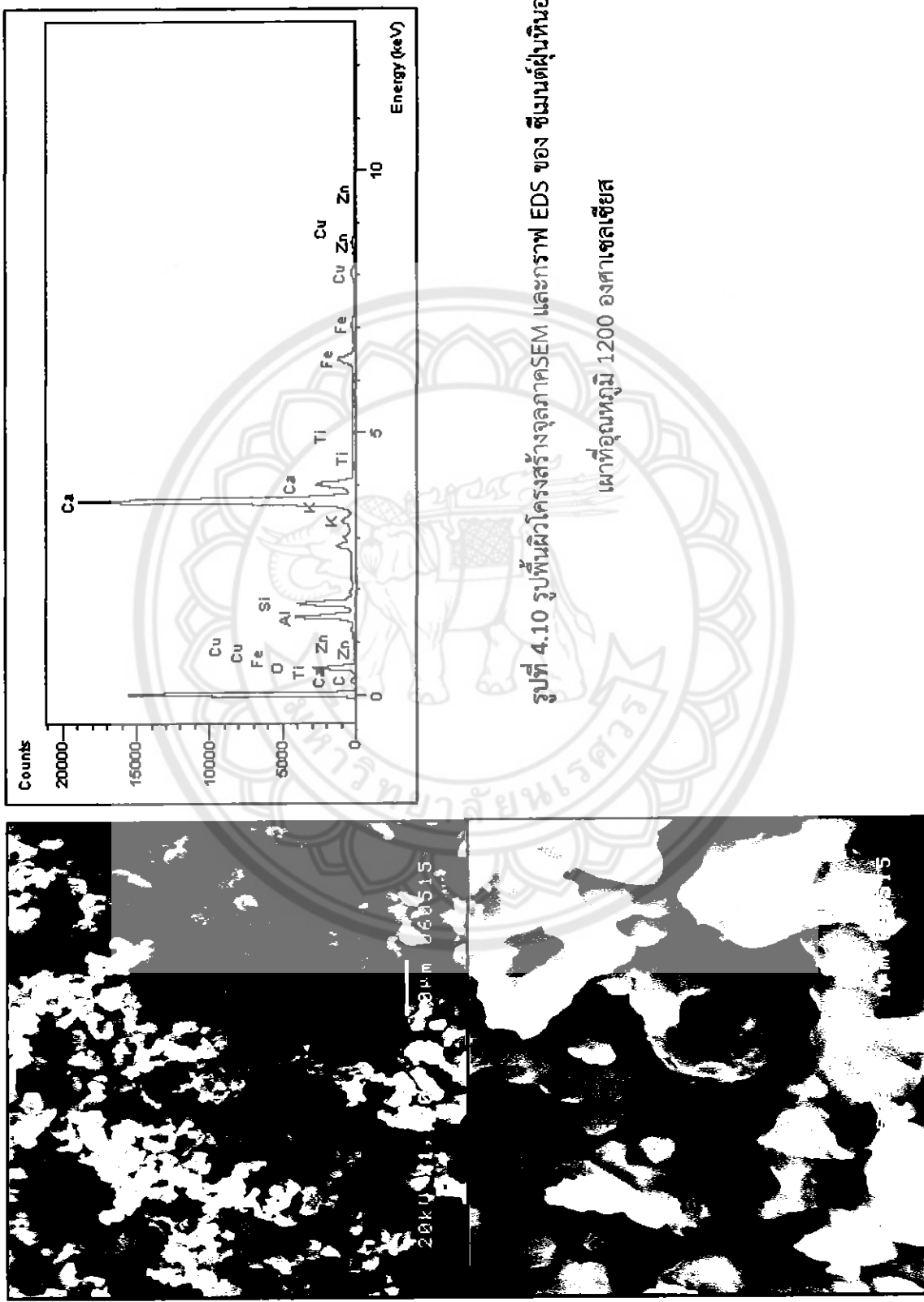


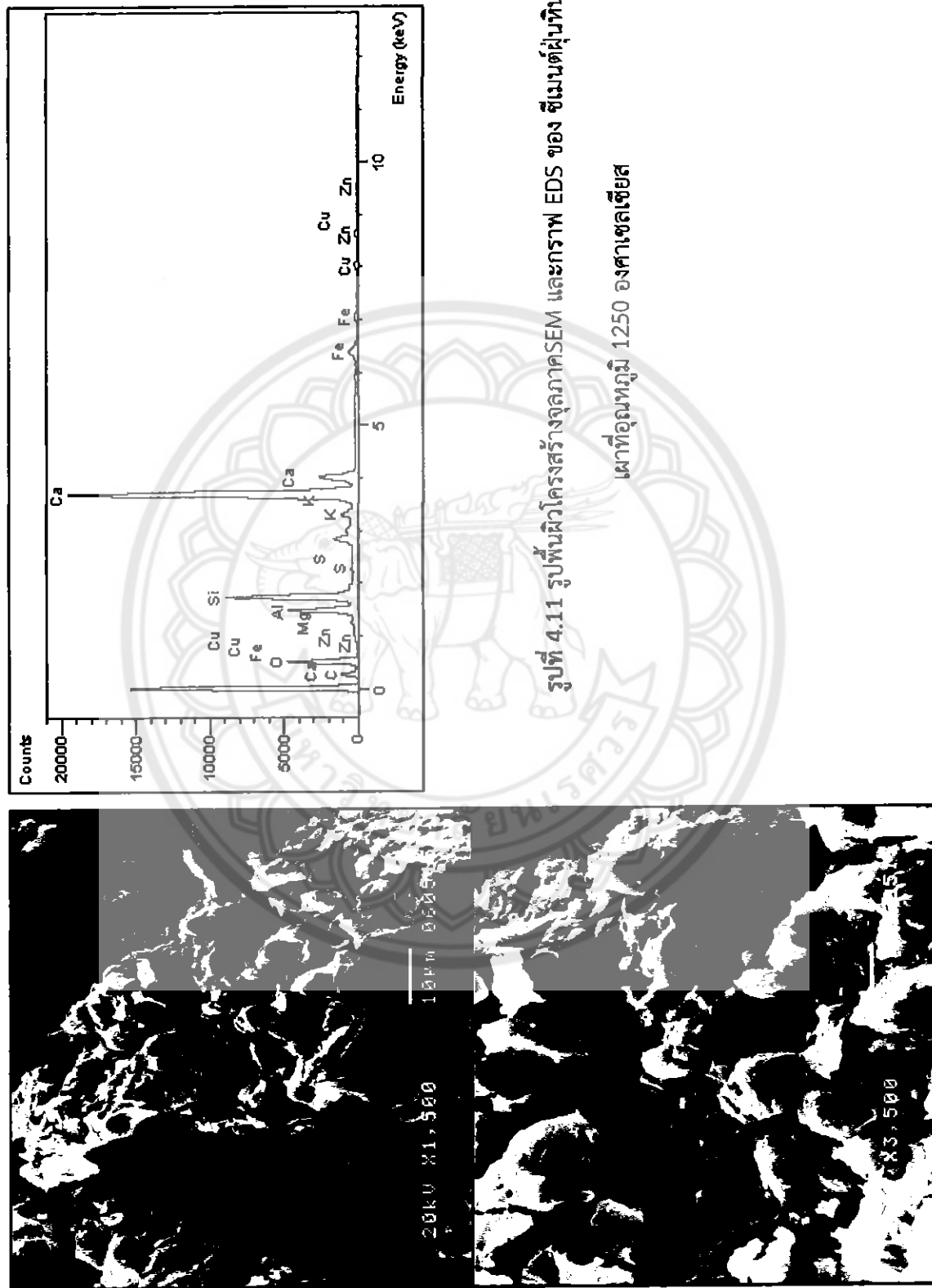
รูปที่ 4.8 กราฟ XRD และวิเคราะห์คราบของ ซีเมนต์ผุนที่อ่อนแข็ง

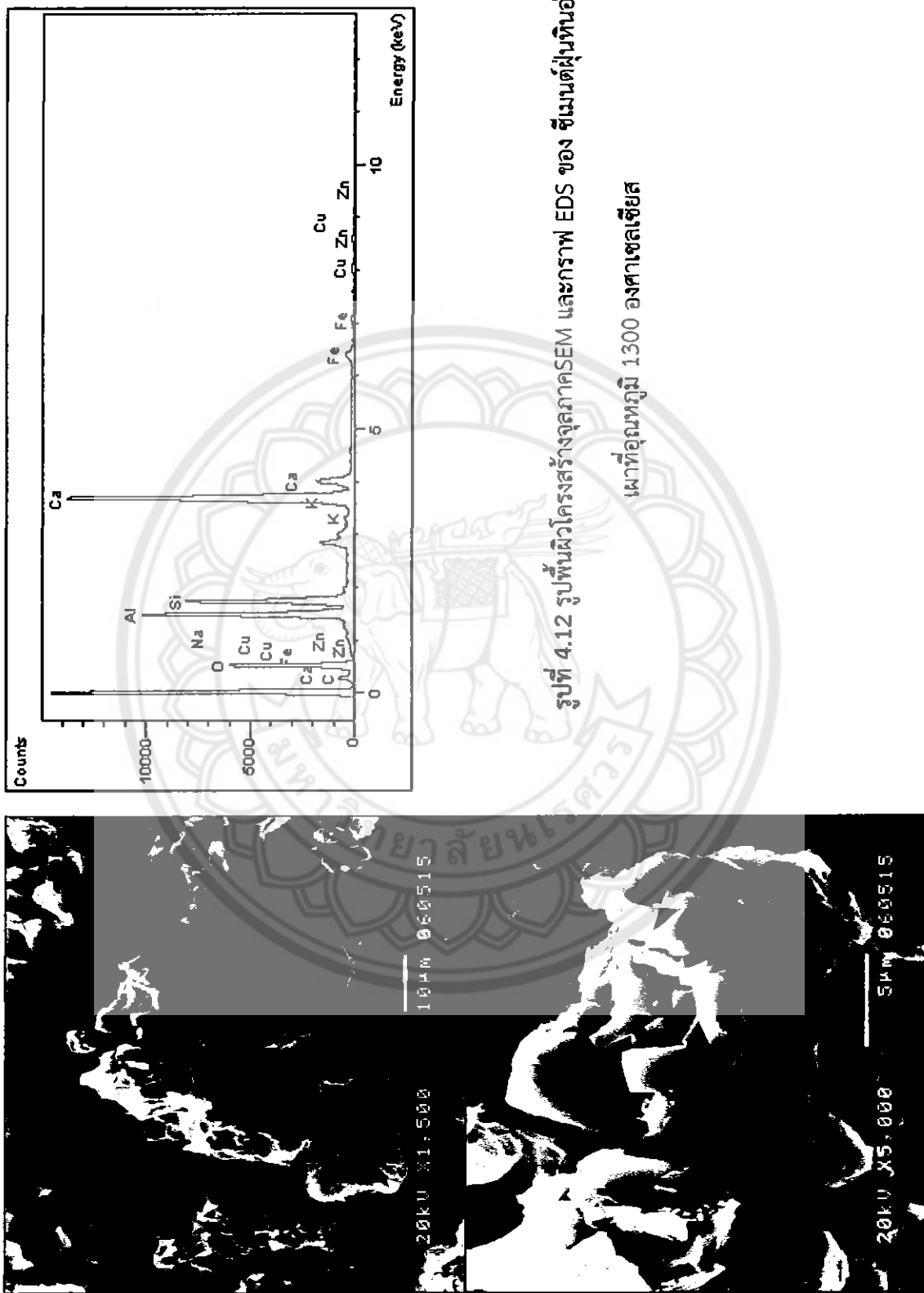


รูปที่ 4.9 กราฟ XRD แสดงวิเคราะห์รากทุกอย่าง ซึ่งแสดงผู้บุนทันของอนามาที่อ่อนหัก

1450 ของสารเคมีสีเขียว

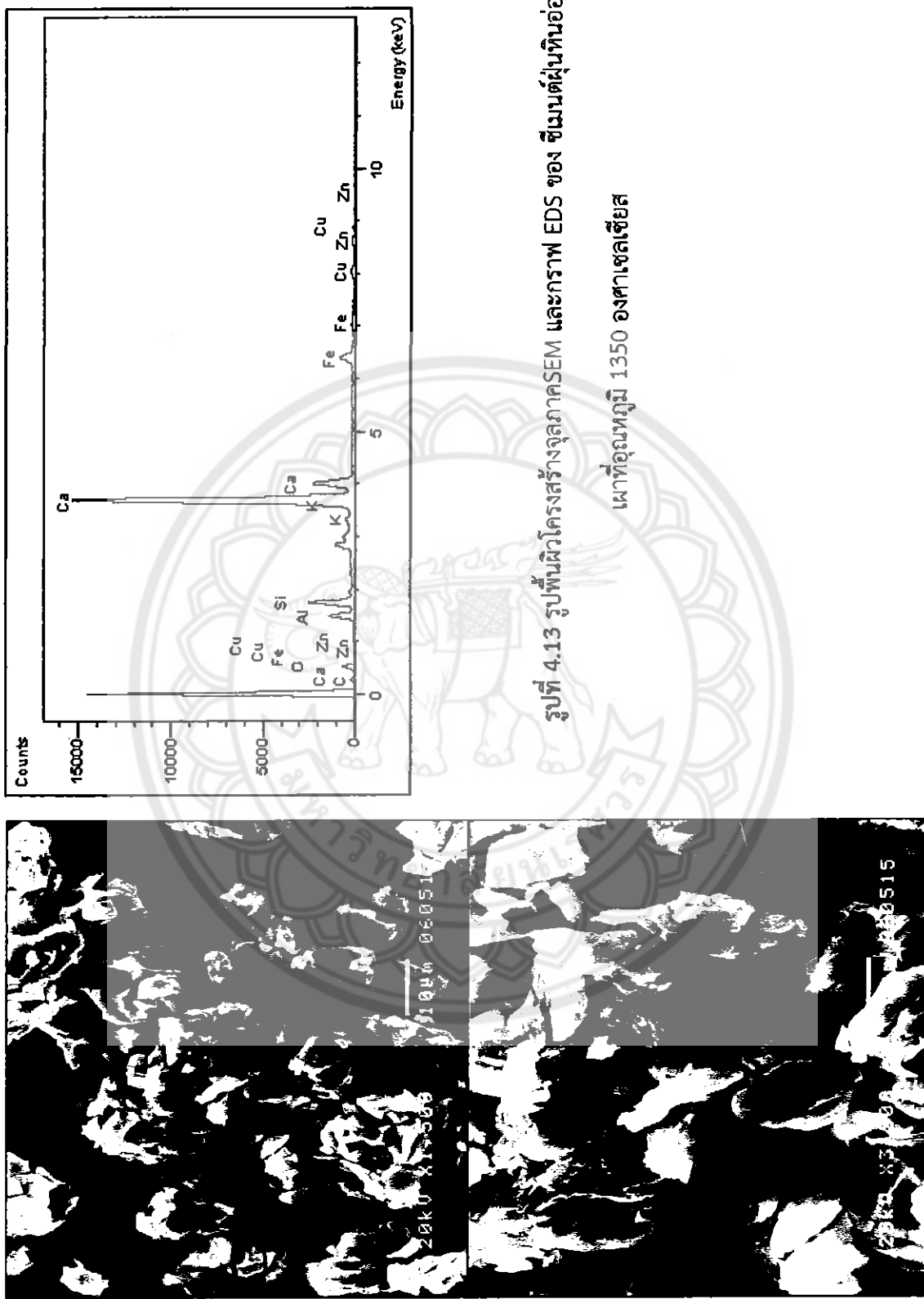


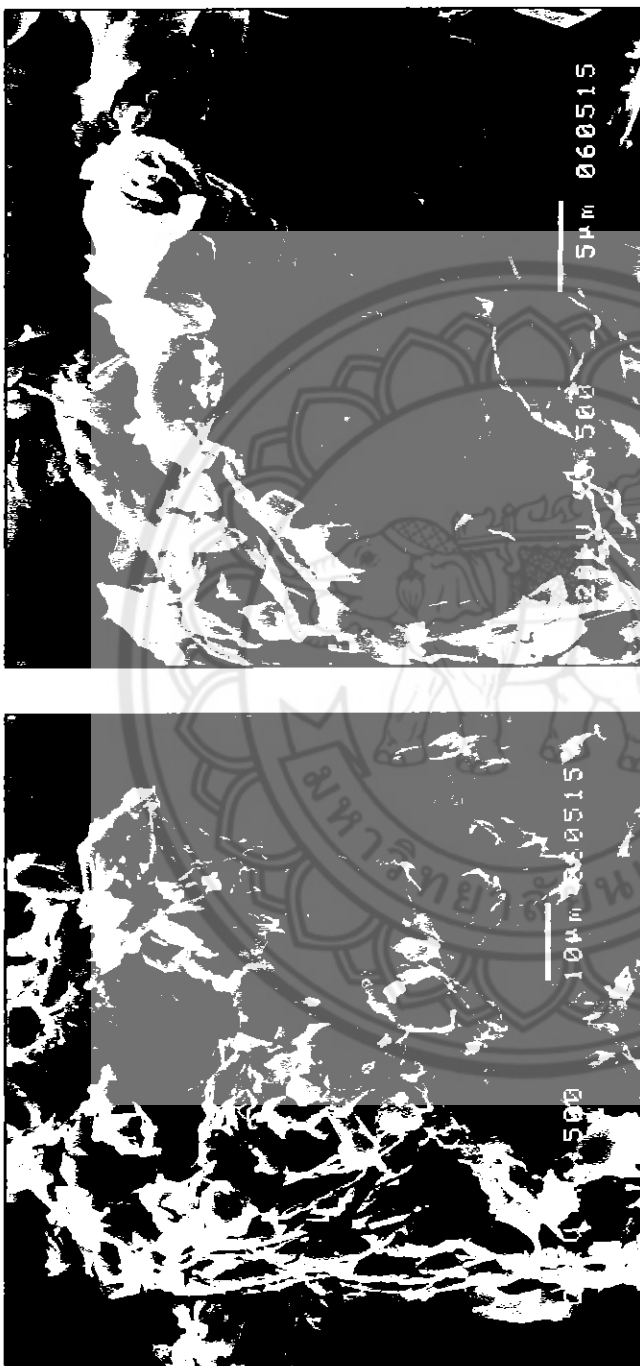




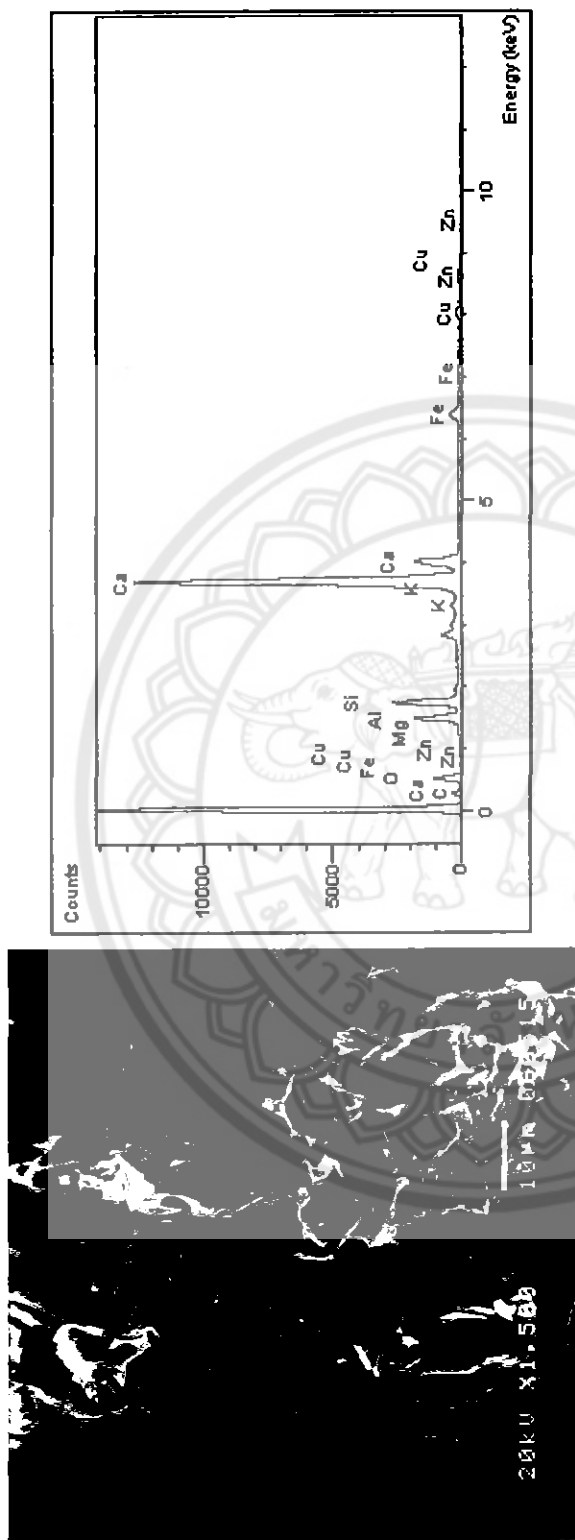
รูปที่ 4.12 รูปที่แสดงผลการสแกนจุลทรรศน์ SEM และกราฟ EDS ของ ชิ้นงานต่อไปนี้ตอน

ผ่านห้องทดลอง 1300 องศาเซลเซียส





รูปที่ 4.14 รูปพื้นผิวโครงสร้างพื้นผิวของ SEM แห่งอ่อนหุ่ม 1400 องศาเซลเซียส



รูปที่ 4.15 รูปที่พิมพ์โดยเครื่องตัวจูงภาพ SEM และกราฟ EDS ของ ชิ้นงานต์ผู้นักทินอ่อน
เผาที่อุณหภูมิ 1450 องศาเซลเซียส

บทที่ 5

สรุปผลการทดสอบ

จากผลการทดสอบทางเคมี พบว่า วัสดุตั้งต้นที่เลือกใช้ คือ ผุนหินอ่อน ,ดินขาว และผุนศิลา แลง ที่ถูกเผาในอัตราส่วน 74% 19% และ 7% ตามลำดับ หลังจากการเผาและได้ทดสอบคุณสมบัติทางเคมี สรุปได้ว่า วัสดุที่ 3 มีองค์ประกอบทางเคมีใกล้เคียงกับปูนซีเมนต์ปอร์ตแลนด์ แต่ยังพบปัญหา เกี่ยวกับปฏิกิริยาเคมีที่เกิดขึ้น จึงส่งผลให้อัตราส่วนที่เหมาะสมไม่ได้



បរវត្ថុករណៈ

- [1] P. Vipul Naidu and P. K. Pandey, Replacement of Cement in Concrete, International Journal of Environmental Research and Development, 4, 91-98 (2014).
- [2] M. Schneider, M. Romer, M. Tschudin and H. Bolio, Sustainable cement production—present and future, Cement and Concrete Research, 41, 642–6505 (2011).
- [3] P. C. Hewlett, Chemistry of cement and concrete, Butterworth-Heinemann (2003).
- [4] Bodil Hokfors, Phase chemistry in process models for cement clinker and lime production, Print and media Umea University, Sweden (2014).
- [5] V. Corinaldesi, G. Moriconi and T. R. Naik, Characterization of marble powder for its use in mortar and concrete, Construction and Building Materials, 24, 113–117 (2010).
- [6] Taner Kavas and Asim Olgun, Properties of cement and morta incoperating marble dust and crushed brick, Ceramics-Silikaty 24-28 (2008).
- [7] P. C. Hewlett, Chemistry of cement and concrete, Butterworth-Heinemann (2003).
- [8] Bodil Hokfors, Phase chemistry in process models for cement clinker and lime production, Print and media Umea University, Sweden (2014).
- [9] V. Corinaldesi, G. Moriconi and T. R. Naik, Characterization of marble powder for its use in mortar and concrete, Construction and Building Materials, 24, 113–117 (2010).

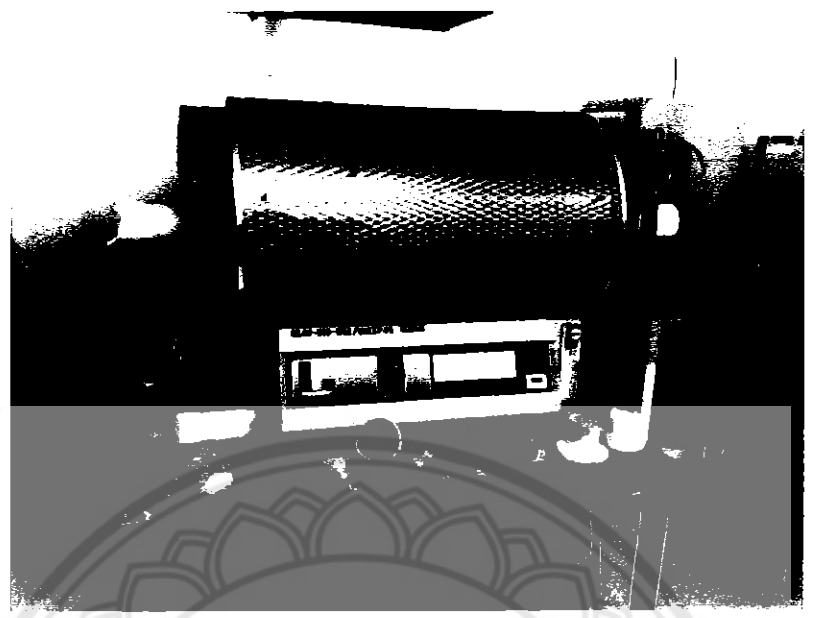
ภาคผนวก ก



รูปที่ ก.1 ตู้อบ



รูปที่ ก.2 เครื่องซั่งทศนิยม 4 ตำแหน่ง



รูปที่ ก.๓ เตาเผาอุณหภูมิสูง



รูปที่ ก.๔ เครื่อง Ball milling



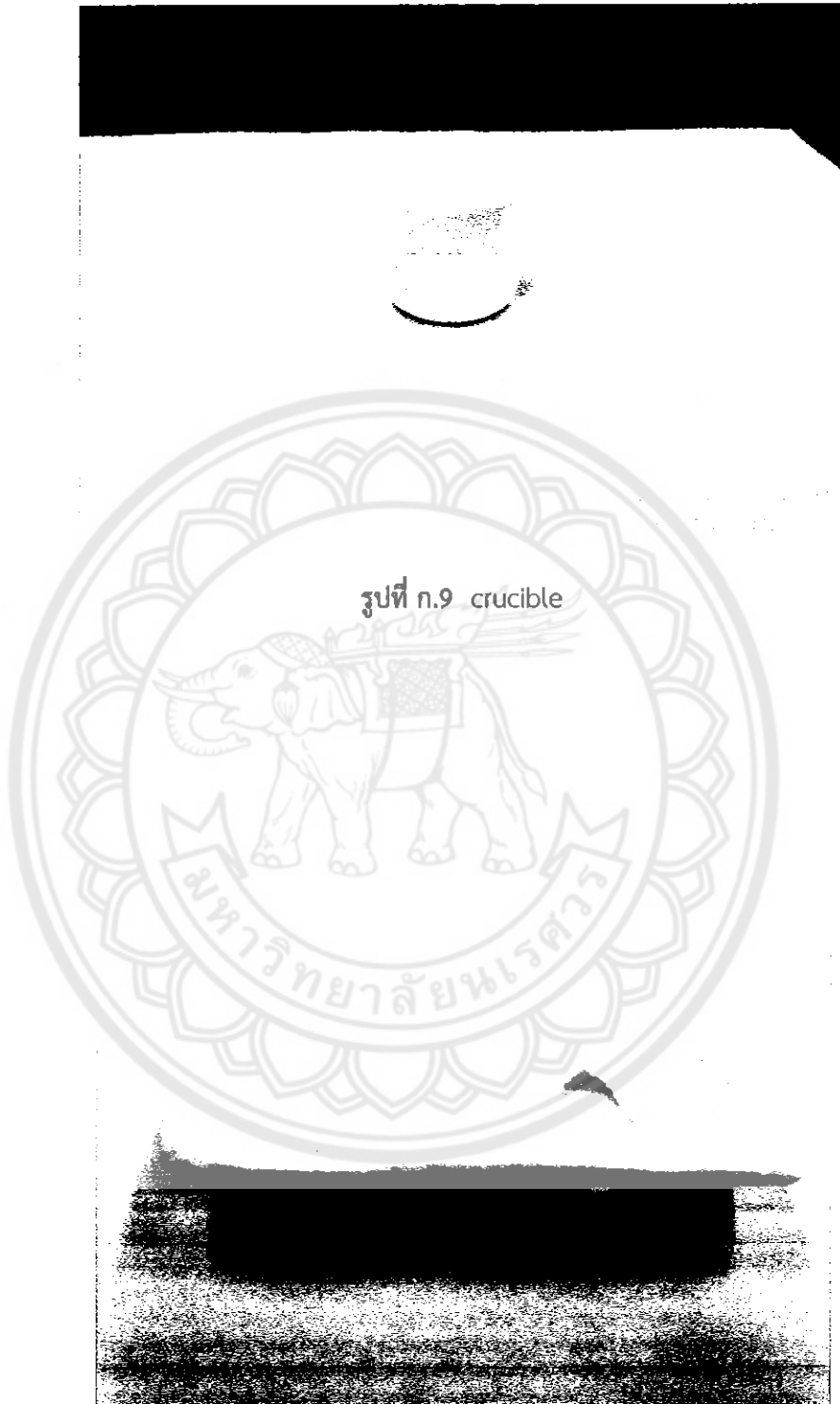
รูปที่ ก.๖ อะลูมิเนียมฟรอยด์



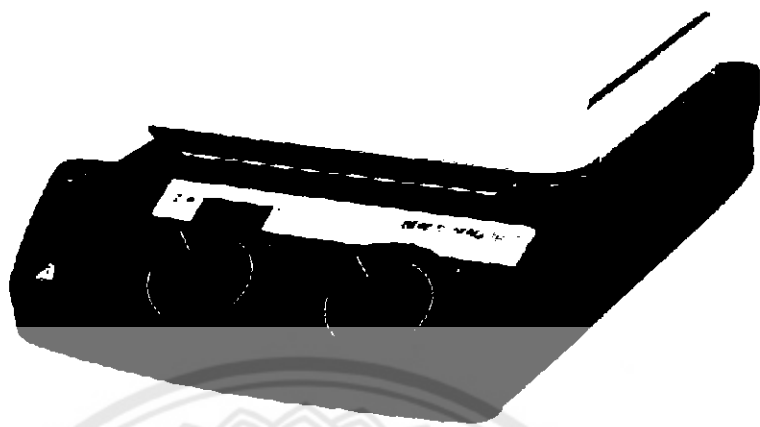
รูปที่ ก.7 ช้อนคนสารเคมี,ปีกเกอร์



รูปที่ ก.8 อุปกรณ์ นำตัวอย่างออกจากเหงา



รูปที่ ก.9 crucible



รูปที่ ก.11 Hot Plate



รูปที่ ก.12 พัดลม



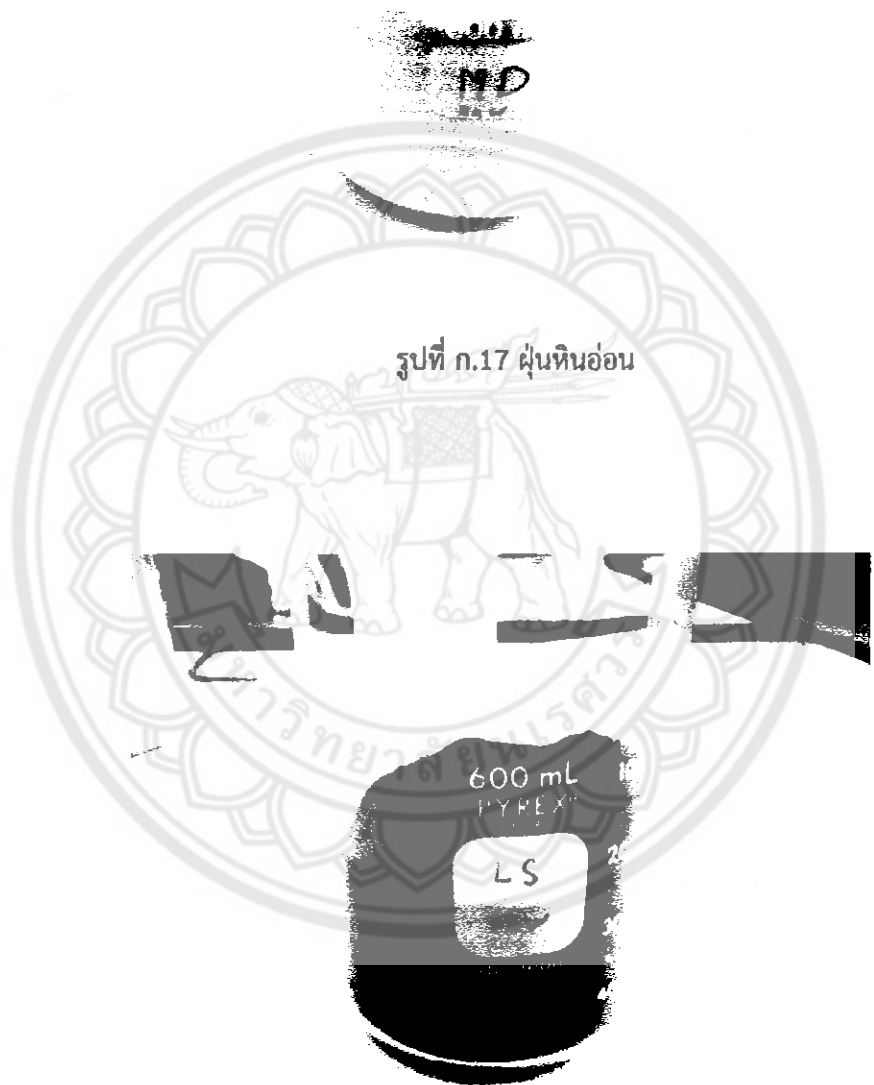
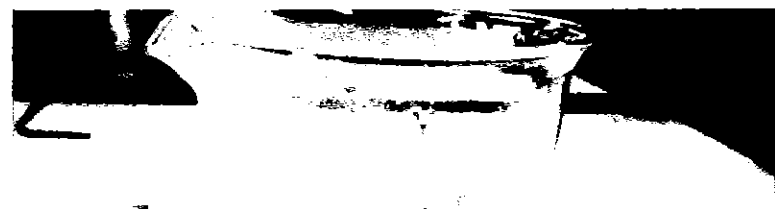
รูปที่ ก.14 Ethanal 99.8%



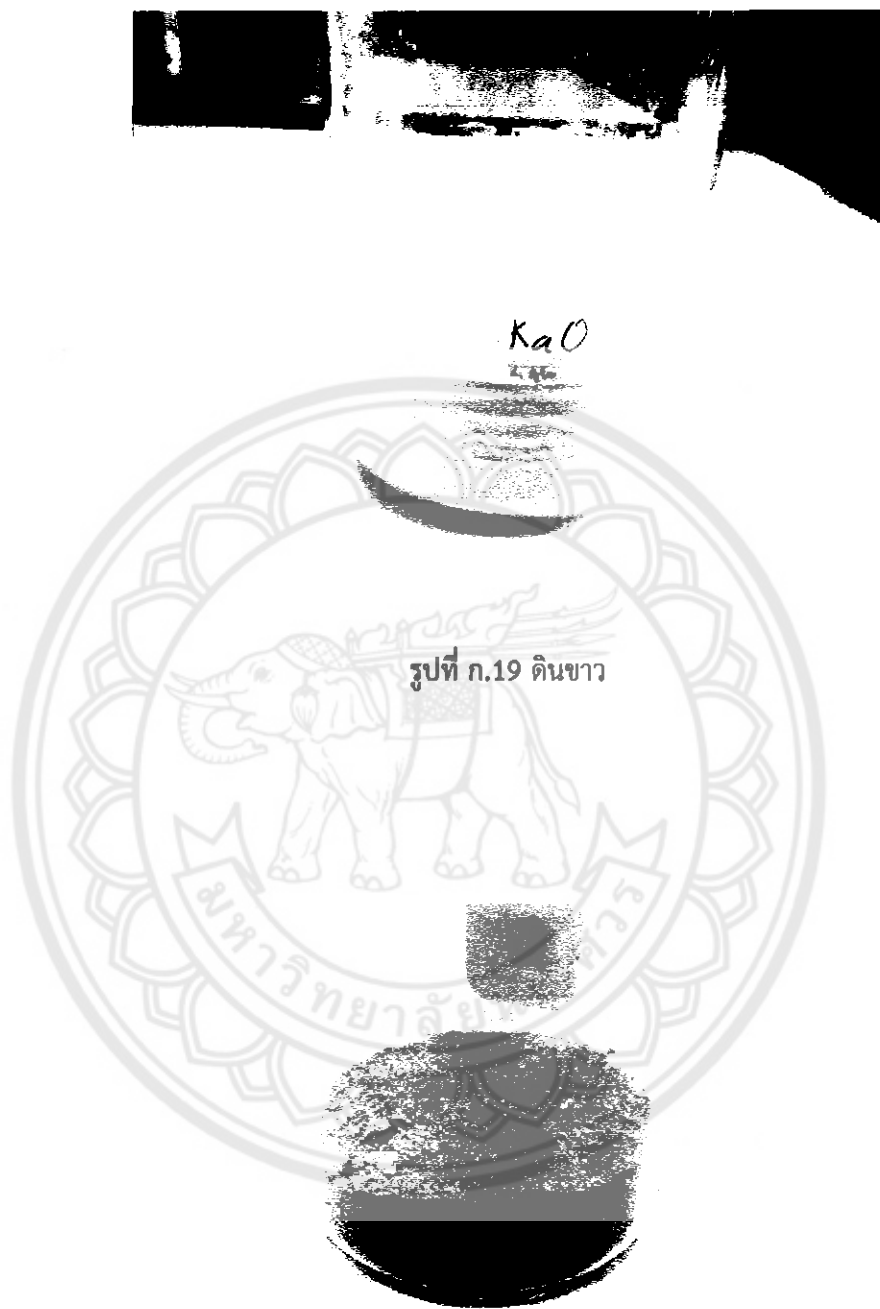
รูปที่ ก.15 ตะแกรงมาตรฐาน เบอร์ 40



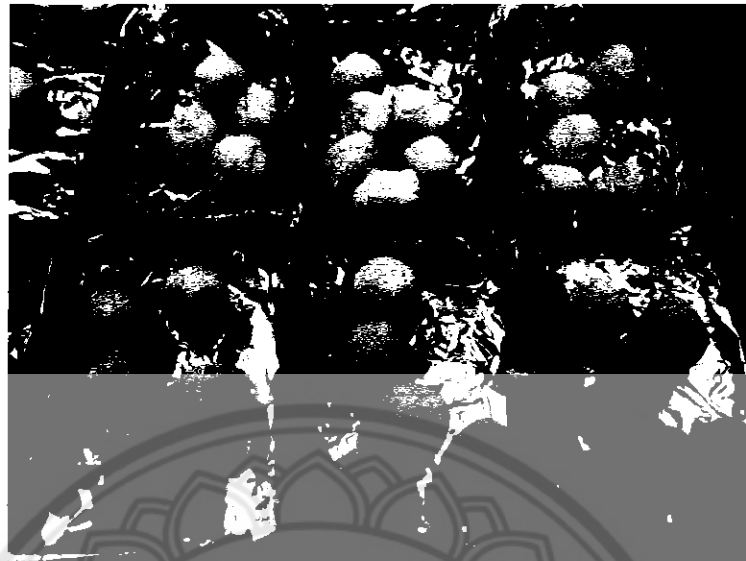
รูปที่ ก.16 ตะแกรงมาตรฐาน เบอร์ 200



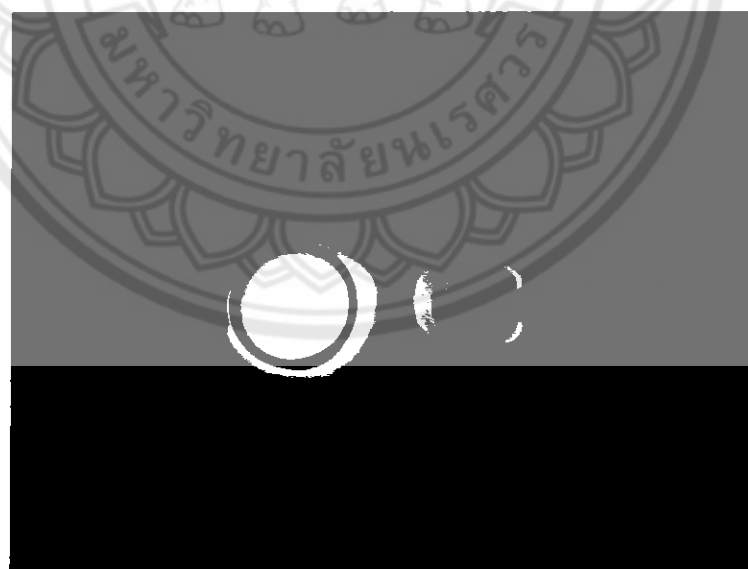
รูปที่ ก.๑๘ ผุนศิลาแลง



รูปที่ ก.20 สารตัวอย่าง(CMD)



รูปที่ ก.21 CMD ปั้นเม็ด



รูปที่ ก.22 CMD ขณะออกจากเหาเพา